

الفصل الأول

الدارات الكهربائية الخطية في التيار المتناوب الجيبي

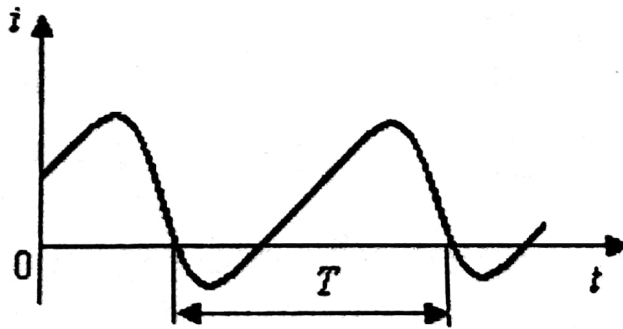
١-١ المفاهيم والعلاقات الأساسية في التيار المتناوب الجيبي :

يسمى التيار الذي يتغير (قيمة واتجاهاً) مع الزمن بالتيار المتناوب ، وينطبق هذا التعريف على الجهد المتناوب والقوة المحركة الكهربائية المتناوبة .

إن قيمة التيار المتناوب في لحظة زمنية محددة تدعى بالقيمة اللحظية لهذا التيار (التيار اللحظي) . ونرمز للقيم اللحظية للتيار والجهد والقوة المحركة الكهربائية بأحرف صغيرة (i, u, e) ، وللتأكيد على أنها توابع زمنية يتم الرمز لها كما يلي : $i(t), u(t), e(t)$.

ويتم عادة ، اختيار الاتجاه الموجب للتيار المتناوب بشكل عشوائي ، ولكن وبعد اختيار هذا الاتجاه يتم اعتبار أنه إذا تطابق الاتجاه الفعلي للتيار اللحظي مع الاتجاه الموجب المختار عشوائياً فإن التيار يعد موجباً .

يمكن للتيار المتناوب أن يكون تياراً متناوباً دورياً أو غير دوري ، ويسمى التيار المتناوب تياراً دورياً عندما تتكرر قيمه اللحظية بعد فترات زمنية متساوية ، الشكل (١-١) .



الشكل (١-١)

يعبر الرمز (T) عن دور التيار المتناوب ويعرف على أنه أقصر فترة زمنية والتي بعد انتهائها تتكرر القيم اللحظية للتيار الدوري ويقاس الدور بالثانية . وتسمى القيمة المساوية لمقلوب الدور بتردد التيار المتناوب $(f = \frac{1}{T})$. ويبين التردد عدد النبضات التي يقوم بها التيار المتناوب خلال ثانية واحدة ويقاس التردد بالهرتز (Hz) .

في الحياة العملية يلاقي التيار الجيبي استخداماً واسعاً باعتباره الشكل الأساسي لكل تيار دوري ، ويفضل على غيره في تقنيات نقل الطاقة الكهربائية (تقنيات التيار العالي) وكذلك في تقنيات التيار الضعيف لتقليل المجهود الرياضي في حساب الدوائر الكهربائية ، إضافة إلى أن إمكانية تطبيق طرق حل الدوائر الكهربائية في المستوي العقدي والتي تمكننا من تحويل المعادلات التفاضلية الصعبة إلى معادلات جبرية عقدية بسيطة لا يمكن أن تتم إلا على التيارات الجيبية .

تأخذ الصيغة التحليلية الرياضية للتيار الجيبي الشكل الآتي :

$$i(t) = \hat{I} \sin(\omega t + \varphi_i) = \hat{I} \sin\left[\omega\left(t + \frac{\varphi_i}{\omega}\right)\right] \quad (1.1)$$

حيث :

$i(t)$: القيمة اللحظية للتيار الجيبي .

\hat{I} : ذروة (مطال) التيار، وهي أكبر قيمة مطلقة تأخذها القيمة اللحظية للتيار الجيبي خلال تغيرها مع الزمن .

ω : التردد الزاوي للتيار الجيبي ويعبر عن سرعة تغير طول التيار ويساوي إلى تردد التيار الجيبي مضروباً بالمقدار (2π) :

$$\omega = 2\pi f = \frac{2\pi}{T} \quad (1.2)$$

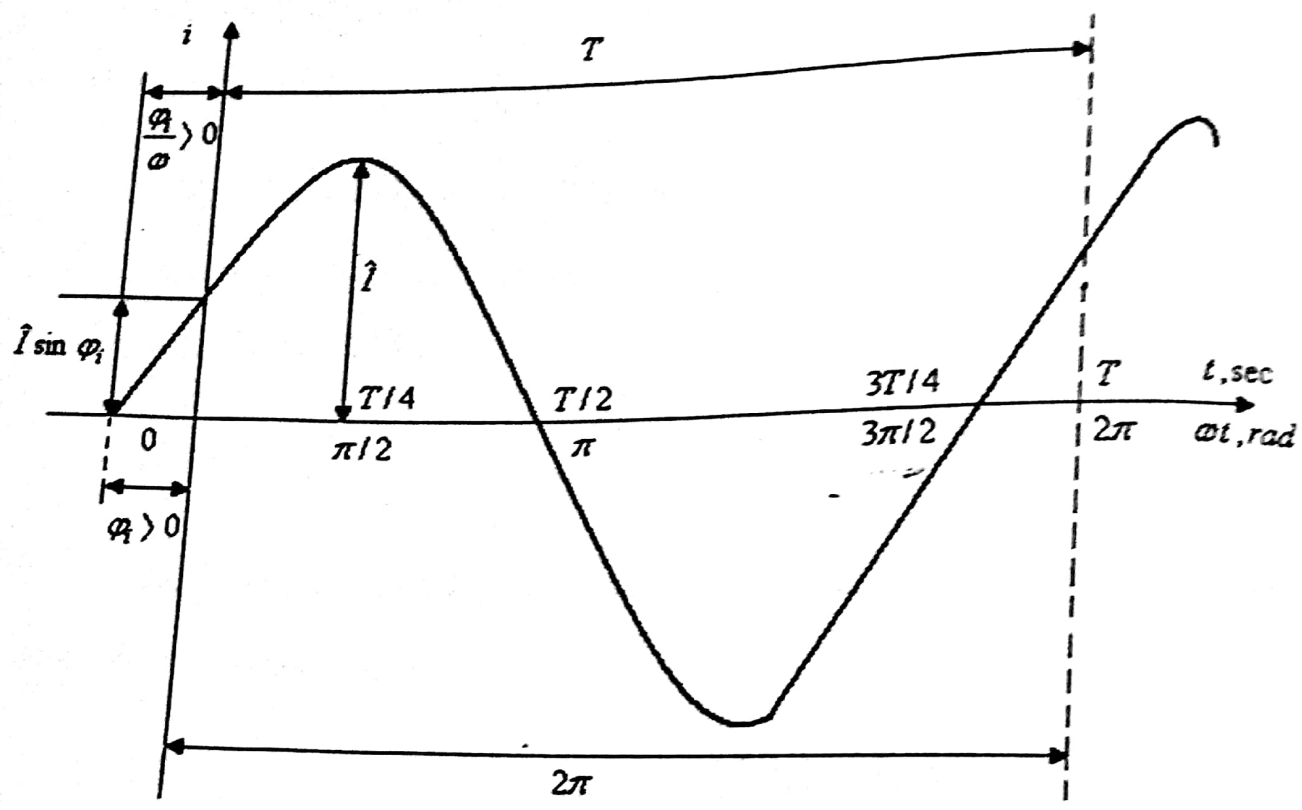
φ_i : زاوية الطور الابتدائية للتيار الجيبي ، أي في لحظة البدء $(t = 0)$.

$\omega t + \varphi_i$: زاوية الطور للتيار الجيبي .

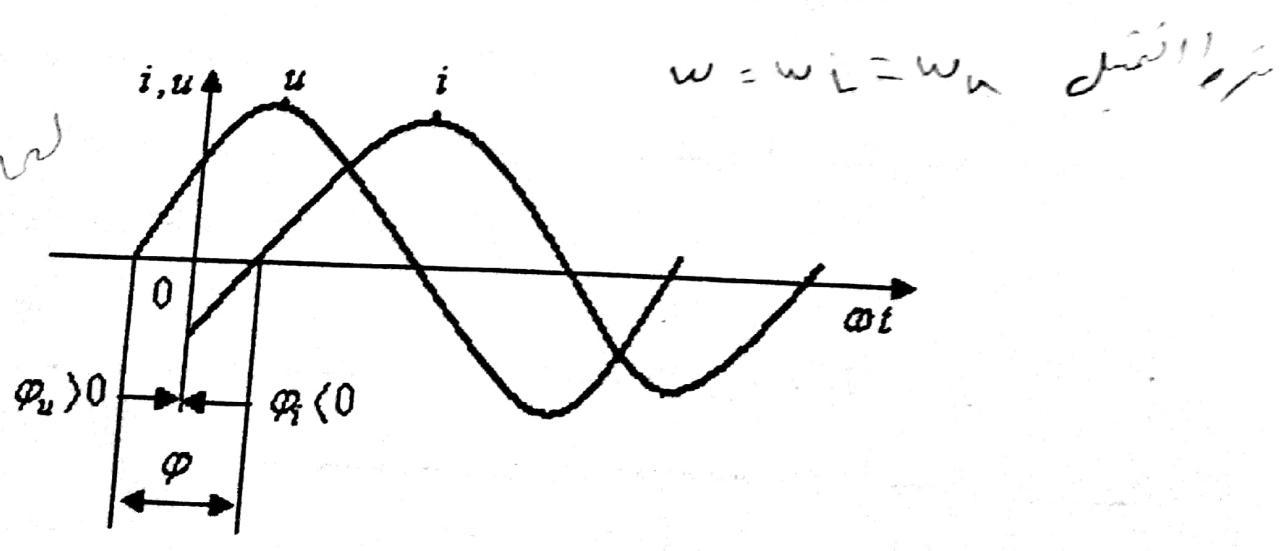
وكما نلاحظ فإن القيمة اللحظية للتيار الجيبي تحدد بثلاث قيم هي : مطاله (\hat{I}) ، وتردده (f) ، وزاوية طوره الابتدائية (φ_i) . وبين الشكل (١-٢) التمثيل البياني للتيار الجيبي بدلالة الزمن (t) والزاوية (ωt) .

وفي حالة توفر عدة قيم جيبيية تتغير بالتردد نفسه وبزوايا طور ابتدائية مختلفة، فيقال : إن هذه القيم الجيبية مزاحة في الطور بالنسبة لبعضها بعضاً . ويعرف انزياح الطور بأنه قيمة جبرية تساوي الفرق بين زوايا الطور الابتدائية ، فعلى سبيل المثال تعبر الزاوية (φ) عن

الانزياح في الطور بين التيار والجهد الممثلين في الشكل (٢-١) وتساوي $(\varphi = \varphi_u - \varphi_i)$. هنا $(\varphi > 0)$ ، أي أن الجهد يتقدم في الطور على التيار. وعندما تكون $(\varphi < 0)$ فإن الجهد يتأخر في الطور عن التيار. أما عندما تكون قيمة (φ) مساوية للصفر فإن الجهد والتيار يكونان متفقين في الطور.



الشكل (٢-١) تمثيل التيار الجيبي حسب المعادلة (1.1)



الشكل (٢-١)

ونشير هنا إلى أنه باستخدام العلاقة المثلثية $\sin \alpha = \cos(\alpha - \pi/2)$ يمكن الانتقال من الصيغة الرياضية الجيبية للتيار الموضحة في العلاقة (1.1) إلى الصيغة الرياضية التريبية ليصبح كما يلي :

$$i(t) = \hat{I} \cos(\omega t + \varphi_i - \pi/2) \quad (1.3)$$

بالإضافة إلى الوسائط المذكورة أعلاه فإن التيار المتناوب يتميز أيضاً بقيمة الفعالة (I) والمتوسطة (I_{av}).

المستخرج

أ- القيمة الفعالة للتيار المتناوب الدوري :

تسمى القيمة الفعالة للتيار المتناوب الدوري بجزء متوسط مربع القيمة له خلال الدور

(I) ويعطى بالعلاقة الآتية :

$$I = \sqrt{\frac{1}{T} \int_0^T i^2(t) dt} \quad (1.4)$$

بتربيع طرفي هذه المعادلة وضربها بالقيمة (RT) ، بحيث (R) هي قيمة ما لمقاومة

أومية مثالية ، سنحصل على :

$$RTI^2 = \int_0^T Ri^2(t) dt \quad (1.5)$$

تبين هذه المساواة بأن القيمة الفعالة لتيار متناوب دوري تكافئ قيمة تيار مستمر (I)

ينتج عند مروره في مقاومة أومية مثالية خلال الزمن (T) طاقة حرارية تساوي الطاقة التي يولدها التيار المتناوب الدوري $i(t)$ خلال الزمن نفسه . والشئ نفسه يمكن تطبيقه بالنسبة للقيم الفعالة لكل من الجهد والقوة المحركة الكهربائية ، أي أن :

$$\left. \begin{aligned} U &= \sqrt{\frac{1}{T} \int_0^T u^2(t) dt} \\ E &= \sqrt{\frac{1}{T} \int_0^T e^2(t) dt} \end{aligned} \right\} \quad (1.6)$$

وهكذا فإنه بالنسبة للتيار المتردد الجيبى المعطى بالعلاقة (1.1) يمكن الحصول على علاقة قيمته الفعالة (I) بمطاله (\hat{I}) عند ($\varphi_i = 0$):

$$\int_0^T i^2(t) dt = \int_0^T \hat{I}^2 \sin^2 \omega t dt = \hat{I}^2 \int_0^T \frac{1}{2} (1 - \cos 2\omega t) dt = \hat{I}^2 T / 2$$

وبالتبديل في العلاقة (1.4) نجد أن :

$$I = \sqrt{\frac{1}{T} \cdot \frac{\hat{I}^2 T}{2}} = \frac{\hat{I}}{\sqrt{2}} = 0,707 \hat{I} \quad (1.7)$$

وكما ذكرنا فإن العلاقة (1.7) هي صحيحة بالنسبة للقيم الفعالة للجهد والقوة المحركة الكهربائية الجيبين :

$$\left. \begin{aligned} U &= \frac{\hat{U}}{\sqrt{2}} = 0,707 \hat{U} \\ E &= \frac{\hat{E}}{\sqrt{2}} = 0,707 \hat{E} \end{aligned} \right\} (1.8)$$

ب- القيمة المتوسطة للتيار المتردد الدوري :

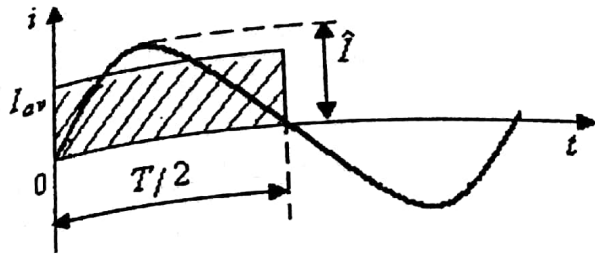
تعطى القيمة المتوسطة للتيار المتردد الدوري (I_{av}) خلال الدور (T) بالعلاقة :

$$I_{av} = \frac{1}{T} \int_0^T i(t) dt \quad (1.9)$$

إن القيمة المتوسطة للتيار المتردد الجيبى خلال الدور (T) تساوي الصفر ($I_{av} = 0$) لأن مساحة النصف الموجب للموجة الجيبية تساوي مساحة النصف السالب لها ، ولذلك يتم حساب القيمة المتوسطة للتيار الجيبى خلال زمن النصف الموجب للموجة التيار فقط ، أي من أجل نصف الدور ، كما في الشكل (1-1) :

$$\begin{aligned} I_{av} &= \frac{2}{T} \int_0^{T/2} i(t) dt = \frac{2}{T} \int_0^{T/2} \hat{I} \sin \omega t dt \\ &= \frac{4\hat{I}}{T\omega} = \frac{4\hat{I}}{T \cdot 2\pi f} = \frac{4\hat{I}T}{T \cdot 2\pi} = \frac{2\hat{I}}{\pi} \Rightarrow I_{av} = \frac{2}{\pi} \hat{I} \end{aligned}$$

$$I_{av} \approx 0,637 \hat{I} \quad (1.10)$$



الشكل (٤-١)

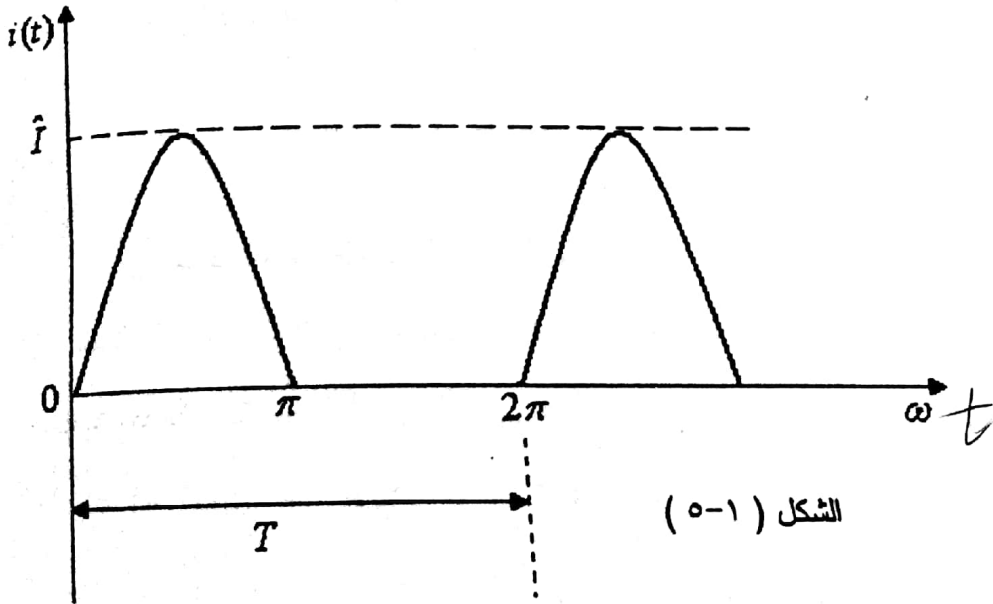
وكما نلاحظ من الشكل (٤-١) فإن القيمة المتوسطة للتيار الجيبى تحدد بقيمة عرض المستطيل الذي يكون طوله مساوياً $(T/2)$ ، وتكون مساحة هذا المستطيل مساوية إلى المساحة المحددة بمنحني التيار $i(t)$.

والعلاقة (1.10) تصلح لإيجاد القيم المتوسطة للجهد والقوة المحركة الكهربائية :

$$\left. \begin{aligned} U_{av} &= 0,637 \hat{U} \\ E_{av} &= 0,637 \hat{E} \end{aligned} \right\} \quad (1.11)$$

وكما هو واضح فإن زاوية الطور (φ) لا تلعب دوراً في تحديد القيم الفعالة والمتوسطة للتيار والجهد والقوة المحركة الكهربائية الجيبية .

مثال (١) : أوجد القيمة الفعالة والقيمة المتوسطة للتيار الجيبى المبين في الشكل (٥-١) .



الشكل (٥-١)

الحل :

$$i(t) = \hat{I} \sin \omega t \quad \text{فإن} \quad 0 < \omega t < \pi \quad \text{عندما}$$

$$i(t) = 0 \quad \text{فإن} \quad \pi < \omega t < 2\pi \quad \text{عندما}$$

وبالتالي ، وبما أن $T = 2\pi$:

- القيمة الفعالة حسب العلاقة (1.4) :

$$I = \sqrt{\frac{1}{2\pi} \int_0^{\pi} \hat{I}^2 \sin^2 \omega t d(\omega t)} + 0$$

$$I^2 = \frac{1}{2\pi} \int_0^{\pi} \hat{I}^2 \sin^2 \omega t d(\omega t) = \frac{\hat{I}^2}{4}$$

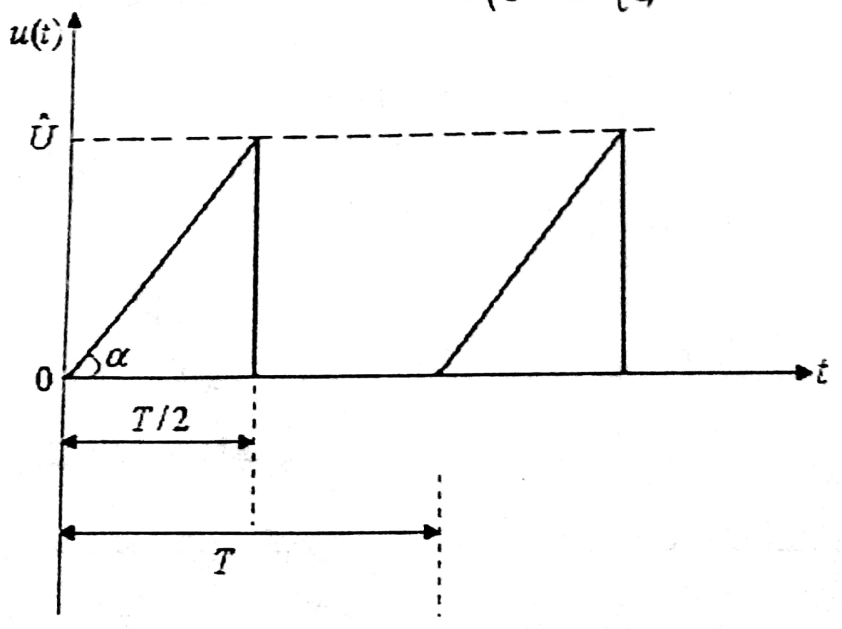
$$I = \frac{\hat{I}}{2}$$

- القيمة المتوسطة تساوي حسب العلاقة (1.9) :

$$I_{av} = \frac{1}{2\pi} \int_0^{2\pi} \hat{I} \sin \omega t d(\omega t) =$$

$$= \frac{1}{2\pi} \left[\int_0^{\pi} \hat{I} \sin \omega t d(\omega t) + \int_{\pi}^{2\pi} 0 d(\omega t) \right] = 0,318 \hat{I}$$

مثال (٢) احسب القيمة الفعالة والقيمة المتوسطة للجهد المتردد الدوري المبين في الشكل (٦-١) إذا كانت قيمة مطلقه $(\hat{U} = 100V)$.



الشكل (٦-١)

هو تيار جيبى له التردد نفسه ، ويساوي :

$$i(t) = \hat{I} \sin(\omega t + \varphi) \quad (1.13)$$

ولإيجاد $i(t)$ نكتفي بتحديد قيمة كل من $(\hat{I} \text{ و } \varphi)$ له بدلالة $\hat{I}_1, \hat{I}_2, \varphi_1, \varphi_2$

وذلك بالاستفادة من العلاقات المثلثية $\sin(\alpha + \beta) = \sin \alpha \cos \beta + \cos \alpha \sin \beta$

$$\text{و } \cos(\alpha - \beta) = \cos \alpha \cos \beta + \sin \alpha \sin \beta$$

$$\begin{aligned} i_1(t) + i_2(t) &= \hat{I}_1 \sin(\omega t + \varphi_1) + \hat{I}_2 \sin(\omega t + \varphi_2) \\ &= \hat{I}_1 \sin \omega t \cos \varphi_1 + \hat{I}_1 \cos \omega t \sin \varphi_1 \\ &\quad + \hat{I}_2 \sin \omega t \cos \varphi_2 + \hat{I}_2 \cos \omega t \sin \varphi_2 \\ &= (\hat{I}_1 \cos \varphi_1 + \hat{I}_2 \cos \varphi_2) \sin \omega t \\ &\quad + (\hat{I}_1 \sin \varphi_1 + \hat{I}_2 \sin \varphi_2) \cos \omega t \end{aligned} \quad (1.14)$$

وفي الوقت نفسه بتحليل $i(t)$ حسب العلاقة المثلثية :

$$i(t) = \hat{I} \cos \varphi \sin \omega t + \hat{I} \sin \varphi \cos \omega t \quad (1.15)$$

بمقارنة طرفي المعادلتين (1.14) و (1.15) ، وباعتبارهما متساويتين نحصل على :

$$\left. \begin{aligned} \hat{I}_1 \cos \varphi_1 + \hat{I}_2 \cos \varphi_2 &= \hat{I} \cos \varphi \\ \hat{I}_1 \sin \varphi_1 + \hat{I}_2 \sin \varphi_2 &= \hat{I} \sin \varphi \end{aligned} \right\} \quad (1.16)$$

بتربيع طرفي المعادلتين (1.16) وجمعهما نحصل على قيمة (\hat{I}) والتي تساوي :

$$\hat{I} = \sqrt{\hat{I}_1^2 + \hat{I}_2^2 + 2\hat{I}_1\hat{I}_2 \cos(\varphi_1 - \varphi_2)} \quad (1.17)$$

وبقسمة المعادلة الثانية على الأولى في (1.16) نحصل على قيمة (φ) :

$$\varphi = \arctan \frac{\hat{I}_1 \sin \varphi_1 + \hat{I}_2 \sin \varphi_2}{\hat{I}_1 \cos \varphi_1 + \hat{I}_2 \cos \varphi_2} \quad (1.18)$$

وتبقى المعادلتان (1.17) و (1.18) صالحتان لإيجاد حاصل طرح تيارين جيبيين $i_1(t)$

و $i_2(t)$ بعد تعويض (\hat{I}_2) بإشارة ناقص فقط .

الحل : نكتب أولاً الصيغة الرياضية لهذا الجهد كتابع للزمن في المجال $(0 < t < T)$:

$$x = \tan \alpha \Rightarrow \frac{\hat{U}}{T/2} = \frac{2\hat{U}}{T} \text{ ، } u(t) = xt$$

$$u(t) = \frac{2\hat{U}}{T} \cdot t \quad : (0 < t < T/2)$$

ومنه يكون في المجال $(0 < t < T/2)$ نعوض في المعادلتين (1.4) و (1.9) فنجد :

- القيمة الفعالة :

$$U = \sqrt{\frac{1}{T} \int_0^T u^2(t) dt}$$

$$U^2 = \frac{1}{T} \int_0^T u^2(t) dt = \frac{1}{T} \left[\int_0^{T/2} \frac{4\hat{U}^2}{T^2} t^2 dt + \int_{T/2}^T 0 dt \right]$$

$$U^2 = \frac{4\hat{U}^2}{T^3} \cdot \frac{T^3}{8} = \frac{4\hat{U}^2}{T^3} \cdot \frac{T^3}{24} = \frac{\hat{U}^2}{6}$$

$$U = \frac{\hat{U}}{\sqrt{6}} = \frac{100}{\sqrt{6}} = 40,82 \text{ V}$$

- القيمة المتوسطة :

$$U_{av} = \frac{1}{T} \left[\int_0^{T/2} \frac{4\hat{U}}{T} t dt + \int_{T/2}^T 0 dt \right]$$

$$U_{av} = \frac{2\hat{U}}{T^2} \cdot \frac{T^2}{4} = \frac{2\hat{U}}{T^2} \cdot \frac{T^2}{8}$$

$$U_{av} = \frac{\hat{U}}{4} = \frac{100}{4} = 25 \text{ V}$$

٢-١ تراكم التيارات الجيبية :

إن حاصل جمع تيارين جيبين $i_1(t)$ و $i_2(t)$ لهما التردد نفسه ، بحيث :

$$\left. \begin{aligned} i_1(t) &= \hat{I}_1 \sin(\omega t + \varphi_1) \\ i_2(t) &= \hat{I}_2 \sin(\omega t + \varphi_2) \end{aligned} \right\} \quad (1.12)$$

ويمكن تعميم هاتين المعادلتين لإيجاد حاصل تراكب عدة توابع جيبية لها التردد نفسه

$$\left. \begin{aligned} \hat{I} &= \sqrt{\Sigma \hat{I}_m^2 + \Sigma \hat{I}_m \hat{I}_n \cos(\varphi_m - \varphi_n)} : m \neq n \\ \varphi &= \arctan \frac{\Sigma \hat{I}_m \sin \varphi_m}{\Sigma \hat{I}_m \cos \varphi_m} \end{aligned} \right\} \quad (1.19)$$

وبالطريقة نفسها يمكن معرفة تراكب الجهود والقوى المحركة الكهربائية الجيبية.

مثال (3):

أوجد القيمة اللحظية للجدد الكلي الناتج عن وصل مولدين كهربائيين لهما التردد نفسه على التسلسل ، علماً أن المولد الأول ينتج قوة محرركة كهربائية قدرها $e_1(t) = 100 \sin \omega t$ والمولد الثاني يقدم قوة محرركة كهربائية قيمتها اللحظية $e_2(t) = 75 \sin(\omega t + 45^\circ)$.

الحل : إن القوة المحركة الكهربائية الكلية الناتجة تساوي :

$$e(t) = e_1(t) + e_2(t) = \hat{E}_1 \sin(\omega t + \varphi_1) + \hat{E}_2 \sin(\omega t + \varphi_2) = \hat{E} \sin(\omega t + \varphi)$$

نحسب قيمة (\hat{E}) وقيمة (φ) حسب المعادلات (1.17), (1.18) على التوالي :

$$\hat{E} = \sqrt{\hat{E}_1^2 + \hat{E}_2^2 + 2\hat{E}_1 \hat{E}_2 \cos(\varphi_1 - \varphi_2)}$$

القيمة
نعوض بالقيمة العددية :

$$\hat{E} = \sqrt{100^2 + 75^2 + 2 \cdot 100 \cdot 75 \cos 45^\circ} = 161,96 [V]$$

$$\varphi = \arctan \frac{\hat{E}_1 \sin \varphi_1 + \hat{E}_2 \sin \varphi_2}{\hat{E}_1 \cos \varphi_1 + \hat{E}_2 \cos \varphi_2}$$

وبالتعويض نجد :

$$\varphi = \arctan \frac{0 + 75 \sin 45^\circ}{100 + 75 \cos 45^\circ}$$

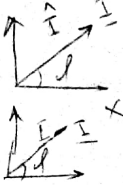
$$\varphi = \arctan \frac{53}{153} = 19^\circ$$

الدارات الكهربائية الخطية في التيار المتردد الجيبية

ومنه فإن القيمة اللحظية للقوة المحركة الكلية :

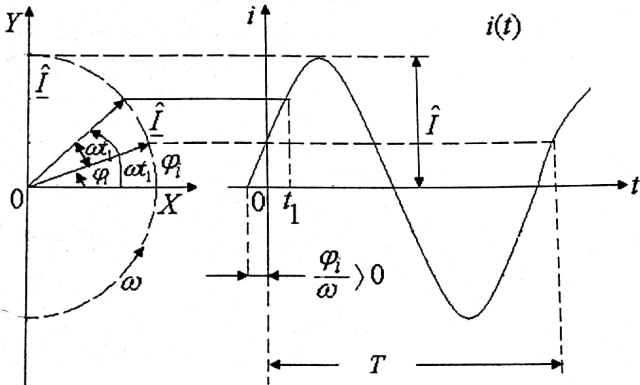
$$e(t) = 161,96 \sin(\omega t + 19^\circ)$$

3-1 تمثيل التيار الجيبية بشعاع دائر - المخططات الشعاعية :



إن تحليل الدارات الكهربائية الخطية في المستوى الحقيقي يعد أمراً صعباً ويستغرق وقتاً طويلاً بسبب المعادلات التفاضلية ، ولتسهيل ذلك يتم تمثيل التيار الجيبية (أو أي تابع جيبية آخر) بشعاع دائر.

لنرسم في جملة الإحداثيات المتعامدة الشعاع (\hat{I}) الذي يميل بزاوية (φ_1) بالنسبة للمحور الأفقي بحيث تكون طولية هذا الشعاع مساوية لطولية التيار الجيبية (\hat{I}) الذي يتغير حسب القانون $i(t) = \hat{I} \sin(\omega t + \varphi_1)$ ، كما في الشكل (٧-١) .



الشكل (٧-١)

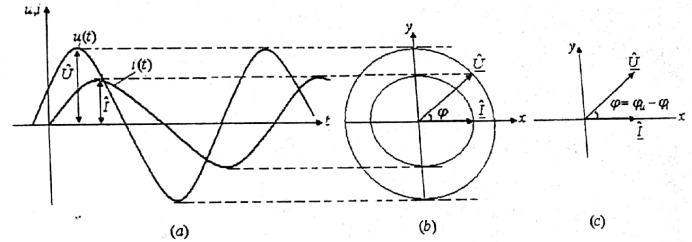
إن مسقط الشعاع (\hat{I}) على المحور العمودي سيكون مساوياً $i(0) = \hat{I} \sin \varphi_1$ ،
ويكافئ القيمة اللحظية للتيار عندما ($t = 0$) .

يفرض أن الشعاع (\hat{I}) يبدأ بالدوران من اللحظة ($t = 0$) بسرعة زاوية ثابتة (ω) مساوية للتردد الزاوي للتيار ويتجاه معاكس لاتجاه دوران عقارب الساعة فإنه بعد زمن ما وعند اللحظة (t_1) سيدور بزاوية قدرها (ωt_1) ليشكل مع المحور الأفقي زاوية قيمتها ($\omega t_1 + \varphi_1$) وعندها سيكون مسقط هذا الشعاع على المحور العمودي مساوياً لـ $i(t_1) = \hat{I} \sin(\omega t_1 + \varphi_1)$ ويكافئ القيمة اللحظية للتيار عندما ($t = t_1$). وبالتالي فإن مسقط شعاع التيار (\hat{I}) على المحور العمودي يساوي في أية لحظة زمنية القيمة اللحظية للتيار $i(t)$ المتغير بشكل جيبي .

كما يمكن بشكل مشابه توضيح أن مسقط شعاع التيار (\hat{I}) على المحور الأفقي يساوي في أية لحظة زمنية القيمة اللحظية للتيار $i(t)$ المتغير بشكل جيبي :

$$i(t) = \hat{I} \cos(\omega t + \varphi_1)$$

إذا ، فمن الممكن تمثيل أي تابعين جيبيين لهما التردد نفسه وبمطالين مختلفين وبزاويتي طور مختلفتين بشعاعين دائريين (الجهد والتيار على مأخذي ثنائي الأقطاب مثلاً) ، كما هو موضح على الشكل (٨-١) .



الشكل (٨-١)

a- تمثيل تابعين جيبيين ، b- شعاعين دائريين ، c- شعاعين ساكنين

وبما أن الأشعة الدائرية تمثل توابع جيبية لها التردد نفسه ، فيمكن إهمال الدوران لنتمكن من رسم المخطط الشعاعي بأشعة ساكنة فقط ، إذ إن المهم هو أطوال الأشعة التي

تمثل مطالات التوابع الجيبية وزوايا طور الأشعة بالنسبة لبعضها البعض والتي بدورها تمثل زوايا طور التوابع الجيبية بالنسبة لبعضها ، وبالتالي نحصل على مخطط شعاعي تمثله أشعة ساكنة كما في الشكل (٨-١) c .

وللتمييز بين التوابع الجيبية التي رمزنا لها بأحرف صغيرة [$i(t)$ ، $u(t)$ ، $e(t)$] سنرمز للأشعة الدائرية التي تمثلها بالأحرف نفسها ولكن مع وضع خط تحتها لتصبح [$\hat{i}(t)$ ، $\hat{u}(t)$ ، $\hat{e}(t)$] أما الأشعة الساكنة التي سنستخدمها في رسم المخططات الشعاعية الممثلة للدارات الكهربائية فنسرمز لها بأحرف كبيرة تحتها خط لتأخذ الشكل (\underline{I} ، \underline{U} ، \underline{E}) كقيم فعالة لهذه الوسائط ، أو (\hat{I} ، \hat{U} ، \hat{E}) كقيم عظمى لها (مطالاتها) .

يسمح الرسم الدقيق للمخططات الشعاعية بموجب مقياس رسم بحل الدارات الكهربائية إذ يقدم وضوحاً كاملاً لزوايا طور ومطالات التيارات وهبوطات الجهود الإفرادية في الدارة الكهربائية بالإضافة إلى حساب قيم هذه الوسائط . ويمكن رسم المخططات الشعاعية إما لمطالات التيارات والجهود أو لقيمتها الفعالة ، أي أن أطوال الأشعة الساكنة تكافئ إما المطالات أو القيم الفعالة لتيارات و جهود الدارة . ويفضل رسم المخططات الشعاعية للقيم الفعالة .

مثال (٤) :

أوجد حاصل الجمع الشعاعي للشعاعين المكافئين للتابعين الجيبيين الآتيين :

$$i_1(t) = \hat{I}_1 \sin(\omega t + \varphi_1)$$

$$i_2(t) = \hat{I}_2 \sin(\omega t + \varphi_2)$$

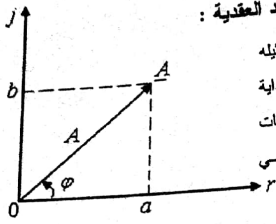
$$\text{بحيث : } \hat{I}_1 > \hat{I}_2 , \varphi_1 < \varphi_2 , \omega_1 = \omega_2 = \omega$$

الحل :

نرسم الشعاعين الساكنين \hat{I}_1 و \hat{I}_2 ، بحيث إن طولي الشعاعين وزاويتيها بالنسبة للمحور الأفقي يكافئ طوليتي التيارين الجيبيين $i_1(t)$ ، $i_2(t)$ ، وزاويتي طورهما ، كما في الشكل (٩-١) .

وبما أن للتيارين الجيبيين التردد نفسه فيكفي معرفة قيمة (\hat{I}_3 و φ_3) لتحديد شعاع المحصلة وبالتالي القيمة اللحظية له .

٤-١ تمثيل التيار الجيبى بواسطة الأعداد العقدية :



من المعروف أن أي عدد عقدي يمكن تمثيله بشعاع ساكن في المستوى العقدي بحيث تكون بداية هذا الشعاع منطبقاً على بداية محوري الإحداثيات المتعامدين وتحدد نهايته تماماً بإحداثيين ، كما في الشكل (١.٠-١) .

الشكل (١.٠-١)

إن نقل الشعاع الساكن إلى المستوى العقدي يعني إيجاد صيغة رياضية عقدية له (تابع عقدي) يساعدنا في حساب التوابع الجيبية وذلك بنقل المعادلات التفاضلية من المستوى الحقيقي إلى المستوى العقدي وتحولها إلى معادلات جبرية عقدية سهلة الحل .

وكما نلاحظ من الشكل فإن العدد العقدي \underline{A} يمكن أن يكتب بثلاثة أشكال :

أ- الشكل الديكارتي : ويتم فيه التعبير عن العدد العقدي ، وبالتالي عن الشعاع الساكن بواسطة مسقطيه على محوري الإحداثيات العقدية (مركبته الحقيقية a والتخيلية b) :

$$\underline{A} = a + jb \quad (1.20)$$

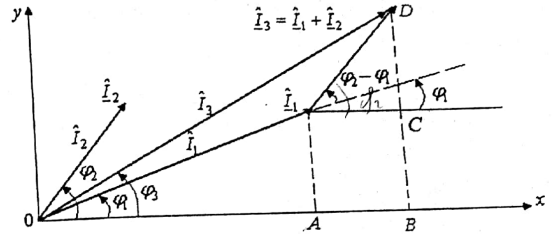
ب- الشكل القطبي : ويكون عندما يراد التعبير عن مركبتي العدد العقدي بواسطة الزاوية (φ) كما يلي :

$$\underline{A} = A \cos \varphi + j A \sin \varphi = A (\cos \varphi + j \sin \varphi) \quad (1.21)$$

حيث يتم حساب طول الشعاع (A) ومركبته الحقيقية (a) والتخيلية (b) من الشكل (١.٠-١) بالطريقة الآتية :

$$\left. \begin{aligned} A &= |\underline{A}| = \sqrt{a^2 + b^2} , \quad \varphi = \arctan \frac{b}{a} \\ a &= A \cos \varphi = \operatorname{Re}[\underline{A}] , \quad b = A \sin \varphi = \operatorname{Im}[\underline{A}]^* \end{aligned} \right\} \quad (1.22)$$

Re و Im : هما اختصار للكلمتين الإنكليزيتين Real و Imaginary ، أو الفرنسيتين Reel و Imaginaire ، أو الألمانيتين Real و Imaginar .



الشكل (١.٠-١)

من الشكل نلاحظ أن طول الشعاع (\hat{I}_3) يساوي :

$$\hat{I}_3 = \overline{OD} = \sqrt{OB^2 + BD^2} = \sqrt{(OA + AB)^2 + (BC + CD)^2}$$

بالتبديل في هذه العلاقة بالقيم الآتية :

$$\begin{aligned} \overline{OA} &= \hat{I}_1 \cos \varphi_1 , & \overline{AB} &= \hat{I}_2 \cos \varphi_2 \\ \overline{BC} &= \hat{I}_1 \sin \varphi_1 , & \overline{CD} &= \hat{I}_2 \sin \varphi_2 \end{aligned}$$

نجد أن :

$$\hat{I}_3 = \sqrt{\hat{I}_1^2 + \hat{I}_2^2 + 2\hat{I}_1 \hat{I}_2 \cos(\varphi_1 - \varphi_2)}$$

أما زاوية شعاع المحصلة (φ_3) فتساوي من الشكل :

$$\tan \varphi_3 = \frac{\overline{BC} + \overline{CD}}{\overline{OA} + \overline{AB}} = \frac{\hat{I}_1 \sin \varphi_1 + \hat{I}_2 \sin \varphi_2}{\hat{I}_1 \cos \varphi_1 + \hat{I}_2 \cos \varphi_2}$$

ونلاحظ أن علاقتي حساب (\hat{I}_3 و φ_3) تتطابقان مع العلاقتين (1.17) و (1.18)

الخاصتين بحساب حاصل جمع تابعين جيبيين لهما التردد نفسه . ومنه يمكن كتابة القيمة اللحظية للتيار الجيبى الناجمة عن جمع $i_1(t)$ و $i_2(t)$ والتي لها الشكل :

$$i_3(t) = \hat{I}_3 \sin(\omega t + \varphi_3)$$

ج- الشكل الأسّي: ويتم الحصول عليه بواسطة قانون إيلر:

$$\cos \varphi + j \sin \varphi = e^{j\varphi}$$

وبالتالي:

$$(1.23)$$

شعاع ساكن
شعاع متحرك

شعاع

$$\underline{A} = A e^{j\varphi}$$

ويفضل استخدام هذا الشكل في كثير من الحسابات نظراً لأن القيمتين المحددتين

للشعاع (A و φ) تحسبان كحدين منفصلين عن بعضهما. بالإضافة إلى سهولة التعامل مع هذا الشكل في حالات الضرب والقسمة والرفع إلى قوة والجذر، بينما يكون استخدام الشكل الديكارتي للعدد العقدي مفضلاً عند جمع أو طرح الأعداد العقدية. ويدعى الرمز $j = \sqrt{-1} = e^{j\pi/2}$ بالوحدة التخيلية أو بعامل الدوران إلى زاوية $90^\circ = \frac{\pi}{2}$. إن الضرب بالعامل (j) يؤدي إلى دوران الشعاع بزواوية قائمة بعكس اتجاه دوران عقارب الساعة، أما الضرب بالعامل ($-j = e^{-j\pi/2}$) فيؤدي إلى دوران الشعاع بزواوية قائمة ولكن باتجاه دوران عقارب الساعة.

وفيما يلي سنذكر بأهم الرموز والقواعد المستخدمة في الحساب العقدي:

$j = \sqrt{-1} = e^{j90^\circ} = e^{j\pi/2}, \frac{1}{j} = -j = e^{-j90^\circ} = e^{-j\pi/2}, j^2 = -1$
$e^{j180^\circ} = -1, \underline{A}_1 \underline{A}_2 = A_1 A_2 e^{j(\varphi_1 + \varphi_2)}$
$\frac{\underline{A}_1}{\underline{A}_2} = \frac{A_1 e^{j\varphi_1}}{A_2 e^{j\varphi_2}} = \frac{A_1}{A_2} e^{j(\varphi_1 - \varphi_2)}, \sqrt{\underline{A}} = \sqrt{A e^{j\varphi}} = \sqrt{A} e^{j\frac{\varphi}{2}}$

كما نسمي العدد العقدي ($\underline{A}^* = a - jb = A e^{-j\varphi}$) بمرافق العدد العقدي ($\underline{A} = a + jb = A e^{j\varphi}$)، ويمثل خيال الشعاع \underline{A} بالنسبة للمحور الحقيقي. ويساوي حاصل جداء العدد العقدي بمرافقه العقدي قيمة حقيقية، أي أن:

$$\underline{A} \underline{A}^* = A^2 \quad (1.24)$$

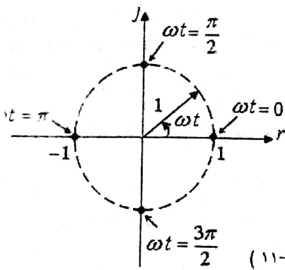
ويمكننا، وحسب العلاقات (1.7)، (1.8) استخدام الشعاع الساكن بحيث يكون طوله مكافئاً لمطال التابع الجيبي، فمثلاً يمكن كتابة العلاقة (1.23) التي تصف شعاعاً ساكناً عقدياً للقيم الفعالة كما يلي:

$$\underline{A} = \hat{A} e^{j\varphi} \quad (1.25)$$

وانطلاقاً من ذلك يمكن استنتاج الصيغة الرياضية العقدية للشعاع للدوائر $\underline{a}(t)$ الذي يمثل التابع الجيبي $a(t)$ وذلك بضرب طرفي العلاقة (1.25) بالحد $(e^{j\omega t})$:

$$\underline{a}(t) = \underline{A} e^{j\omega t} = \hat{A} e^{j\varphi} \cdot e^{j\omega t} = \hat{A} e^{j(\omega t + \varphi)} \quad (1.26)$$

إن قيمة $\underline{a}(t)$ تتألف من قسمين، أحدهما ثابت ($\underline{A} = \hat{A} e^{j\varphi}$) ويسمى المطال العقدي ويساوي عدد عقدي طويلته تساوي مطال التابع المتردد الجيبي ونليله (φ) هو عبارة عن زاوية الطور الابتدائية للتابع. أما القسم الآخر ($e^{j\omega t}$) فهو متغير يتغير الزمن ويسمى بعامل الدوران وتساوي طويلته الواحد أما دليله فيتعلق خطأً بالزمن، وتمثله نقطة في المستوى العقدي تدور بشكل دائري على محيط دائرة قطرها يساوي الواحد ومركزها مركز الإحداثيات العقدية، كما في الشكل (1-11). ويكون دوران هذه النقطة بسرعة زاوية ثابتة (ω) باتجاه يعاكس اتجاه دوران عقارب الساعة. ويبين الجدول (1-11) قيم ($e^{j\omega t}$) في نقاط مميزة.



الجدول (1-11)

ωt	0	$\pi/2$	$-\pi/2$	π
$e^{j\omega t}$	1	j	$-j$	-1

الشكل (1-11)

وكما ذكرنا سابقاً فإنه يمكن التعبير عن الشكل الأسّي للشعاع المبين في العلاقة (1.26) بالشكل القطبي، أي أن القيمة اللحظية العقدية $\underline{a}(t)$ نكتب كما يلي:

$$\underline{a}(t) = \hat{A} \cos(\omega t + \varphi) + j \hat{A} \sin(\omega t + \varphi) \quad (1.27)$$

وهي تتألف كما نلاحظ من قسمين : القسم الحقيقي المتغير بشكل جيبي ، والقسم التخيلي المتغير بشكل جيبي . وبما أن القيم الكهربائية اللحظية للتيار $i(t)$ ، الجهد $v(t)$ ، والقوة المحركة الكهربائية $e(t)$ يمكن أن تكون في المستوى الحقيقي إما ذات صيغة جيبية أو ذات صيغة تجميعية ، فإنها ستساوي إما القسم التخيلي من القيمة اللحظية العقدية الموافقة لها أو القسم الحقيقي منها على التوالي . فإذا أخذنا التيار مثلاً فإن قيمته اللحظية الحقيقية ستكون مساوية :

$$i(t) = \text{Im}[\hat{I} e^{j(\omega t + \varphi_i)}] = \hat{I} \sin(\omega t + \varphi_i) \quad (1.28)$$

- للتيار ذي الصيغة التجميعية :

$$i(t) = \text{Re}[\hat{I} e^{j(\omega t + \varphi_i)}] = \hat{I} \cos(\omega t + \varphi_i) \quad (1.29)$$

نسمي القيمة العقدية $(\underline{I} = I e^{j\varphi_i})$ ، (حيث : $I = \frac{\hat{I}}{\sqrt{2}}$) بالتيار الجيبي الفعال

العقدية أو بالتيار العقدية وذلله هو الزاوية (φ) نفسها للمطال العقدية ، أما طولته فهي أصغر بمقدار $(\sqrt{2})$ من طولة المطال العقدية .

مثال (٥) إذا كان التيار العقدية مساوياً $\underline{I} = (6+j8) A$ ، والمطلوب : كتابة علاقة قيمته اللحظية الجيبية .

الحل : نوجد القيمة الفعالة لهذا التيار :

$$I = \sqrt{6^2 + 8^2} = 10 A$$

$$\hat{I} = \sqrt{2} I = 14,1 A \quad \text{ومنه مطال التيار :}$$

$$\varphi_i = \text{arc tan} \frac{8}{6} = 53,7^\circ \quad \text{وزاويته تساوي :}$$

وبالتالي فإن علاقة القيمة اللحظية الجيبية للتيار نكتب كما يلي :

$$i(t) = 14,1 \sin(\omega t + 53,7^\circ) A$$

مثال (٦) : أوجد المطال العقدية والتيار العقدية إذا كانت قيمته اللحظية معطاة بالعلاقة :

$$i(t) = 14,1 \sin(\omega t + 30^\circ) A$$

الحل :

المطال العقدية يساوي : $\underline{\hat{I}} = \hat{I} e^{j\varphi_i} = 14,1 e^{j30^\circ} A$ **مطال عكسي**
ولإيجاد التيار العقدية نحسب قيمته الفعالة :

$$I = \frac{\hat{I}}{\sqrt{2}} = \frac{14,1}{\sqrt{2}} = 10 A$$

ومنه التيار العقدية يساوي :

$$\underline{I} = I e^{j\varphi_i} = 10 e^{j30^\circ} A$$

والجدول (٢-١) يتضمن العلاقات العقدية لتتابع جيبي عند تفاضله أو تكامله

بالنسبة للزمن .

الجدول (٢-١) تفاضل وتكامل تابع جيبي بالنسبة للزمن

تكامل التابع	تفاضل التابع	التابع الجيبي	الصيغة اللحظية والعقدية للتابع الجيبي
$\int_0^t a dt = -\frac{1}{\omega} \hat{A} \cos(\omega t + \varphi)$	$\frac{da}{dt} = \omega \hat{A} \cos(\omega t + \varphi)$ $e^{j\omega t} \sin(\omega t + \varphi)$	$a(t) = \hat{A} \sin(\omega t + \varphi)$	الصيغة اللحظية
$\int_0^t a dt = \frac{1}{\omega} \hat{A} e^{j(\omega t + \varphi - \frac{\pi}{2})}$ $= \frac{1}{j\omega} a(t)$	$\frac{da}{dt} = \omega \hat{A} e^{j(\omega t + \varphi + \frac{\pi}{2})}$ $= j\omega a(t)$	$a(t) = \hat{A} e^{j(\omega t + \varphi)}$	الصيغة العقدية
$\frac{1}{j\omega} \hat{A}$	$j\omega \hat{A}$	$\hat{A} = \hat{A} e^{j\varphi}$	المطال العقدية
$\frac{1}{j\omega} \underline{A}$	$j\omega \underline{A}$	$\underline{A} = A e^{j\varphi}$	القيمة الفعالة العقدية

وستساعد معطيات هذا الجدول في معرفة كيفية تحويل عناصر الدارة الكهربائية ، وبالتالي العلاقات التفاضلية والتكاملية الواصفة لها من المستوي الحقيقي إلى المستوي العقدي كما سنرى لاحقاً .

٥-١ الدارة الكهربائية وعناصرها :

تعرف الدارة الكهربائية بأنها مجموعة من العناصر الفعالة وغير الفعالة المتصلة فيما بينها بوساطة نواقل كهربائية لتشكل دائرة مغلقة تسمح للتيار الكهربائي بالمرور خلالها ، حيث يمكن وصف العمليات الكهرومغناطيسية فيها بمساعدة مفاهيم القوة المحركة الكهربائية والتيار والجهد . ويعد الفرع في الدارة الكهربائية جزءاً منها يتكون من عنصر واحد أو عدة عناصر موصولة على التسلسل ويمر خلالها التيار الكهربائي نفسه في أية لحظة زمنية ، أما العقدة في الدارة الكهربائية فهي مكان اتصال أكثر من فرعين من فروع الدارة ، ونسعى أي مسار مغلق يحيط بعدة فروع في الدارة بالحلقة المغلقة . وتلعب مفاهيم الفرع والعقدة والحلقة دوراً هاماً في حل الدارات الكهربائية .

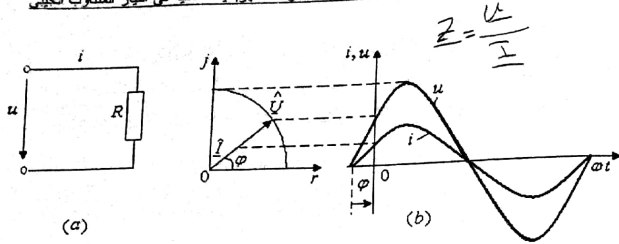
١-٥-١ العناصر غير الفعالة (الخاملة) Passive Elements :

يتم في هذه العناصر، إما اختزان الطاقة الكهربائية أو تحويلها إلى شكل آخر من أشكال الطاقة المعروفة ، وتسمى هذه العناصر (بشكلها المفرد أو المجتمع) بثباتيات الأقطاب الأساسية غير الفعالة ، وأهم هذه العناصر :

آ- المقاومة الأومية (R) : وهي عنصر الدارة الذي يتم فيه تحويل غير عكوس للطاقة الكهربائية إلى طاقة حرارية . فلو طبق جهد متناوب جيبي قيمته اللحظية $u(t) = \hat{U} \sin(\omega t + \varphi_u)$ على مأخذي هذا العنصر كما في الشكل (١٢-١) فإن التيار سيكون مساوياً :

$$i(t) = \frac{u(t)}{R} = \frac{\hat{U}}{R} \sin(\omega t + \varphi_u) = \hat{I} \sin(\omega t + \varphi_i) \quad (1.30)$$

الدوائر الكهربائية الخطية في التيار المتناوب الجيبى



الشكل (١٢-١)

a- دائرة كهربائية بمقاومة لومية فقط

b- التمثيل البياني اللحظي والشعاعي للعلاقة بين الجهد والتيار في الدارة

واضح من العلاقة أن $(\hat{U}/R = \hat{I})$ ، أي أن نسبة مطال الجهد إلى مطال التيار تساوي

المقاومة الظاهرية للدارة والتي تمتلك المحتوى الفيزيائي للمقاومة $(\hat{U}/\hat{I} = Z = R)$ ، كما أنه

يتبين من الشكل أن $(\varphi_u = \varphi_i)$ ، وبالتالي زاوية فرق الطور بين الجهد والتيار على طرفي المقاومة تساوي الصفر $(\varphi = \varphi_u - \varphi_i = 0)$ ، أو يقال بأن الجهد والتيار في الدارة متفان في الطور. وتكون الممانعة العقدية للدارة مساوية حاصل قسمة مطال الجهد العقدي على مطال التيار العقدي :

$$Z = \frac{\hat{U}}{\hat{I}} = \frac{\hat{U} e^{j\varphi_u}}{\hat{I} e^{j\varphi_i}} = R e^{j(\varphi_u - \varphi_i)} = R e^{j0} = R \quad (1.31)$$

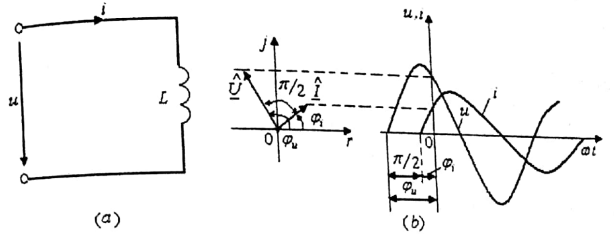
أما السماحية العقدية فتساوي :

$$Y = \frac{\hat{I}}{\hat{U}} = \frac{1}{Z} = \frac{1}{R} = G \quad (1.32)$$

أي أن الممانعة العقدية والسماحية العقدية للدارة المولفة من مقاومة أومية فقط هي عبارة عن قيم حقيقية وتساويان المقاومة الأومية (الفعالة) والسماحية الفعالة (الناقلية) .

تقاس المقاومة الأومية بالأوم (Ω) بينما تقاس الناقلية بالسيمينس (S) .

ب- التحريض (L) : وهو عنصر الدارة الكهربائية الذي يتم فيه تخزين الطاقة الكهربائية كطاقة حقل مغناطيسي . فإذا تم تطبيق جهد لحظي جيبى $u(t)$ على مأخذي ملف تحريضي كما في الشكل (13-1) فإنه سيمر خلاله تيار $i(t) = \hat{I} \sin(\omega t + \varphi_i)$ ، وسيولد هذا التيار في الملف التحريضي قوة محرّكة كهربائية ذاتية قيمتها $(e_L = -L \frac{di}{dt})$ والتي تعادل قيمة الجهد المطبق على مأخذي الملف $u(t)$.



الشكل (13-1)

a- دارة كهربائية بملف فقط

b- التمثيل البياني والشعاعي للعلاقة بين الجهد والتيار في الدارة

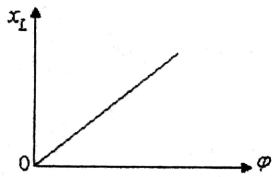
واعتماداً على قانون كيرشوف الثاني للقيم اللحظية يمكن أن نكتب :

$$\left. \begin{aligned} u + e_L &= 0 \\ u(t) &= -e_L = L \frac{di}{dt} \end{aligned} \right\} \quad (1.33)$$

بالتعويض بقيمة التيار في هذه العلاقة ، وبعد إجراء التفاضل نحصل على :

$$\begin{aligned} u(t) &= L \frac{di}{dt} = \omega L \hat{I} \cos(\omega t + \varphi_i) \\ &= \hat{U} \sin(\omega t + \varphi_i + \frac{\pi}{2}) = \hat{U} \sin(\omega t + \varphi_u) \end{aligned} \quad (1.34)$$

وبيننا لنا من العلاقة (1.34) والشكل (13-1) أن $(\hat{U} = \omega L \hat{I})$ ، ومنه فإن حاصل قسمة مطال الجهد على مطال التيار يسمى بالمقاومة الظاهرية للدارة (Z) والتي



الشكل (14-1)

وتعد (x_L) تابع خطي للتردد (ω) كما في الشكل (14-1) وعندما $(\omega = 0)$ ، أي للتيار المستمر ، فإن قيمته $(x_L = 0)$. وبازدياد (ω) تزداد قيمة المفاعلة التحريضية.

إن السماحية العقديّة لدارة الملف تساوي :

$$\underline{Y} = \frac{\hat{I}}{\hat{U}} = \frac{1}{Z} = \frac{1}{j\omega L} = -j \frac{1}{\omega L} = -j B_L \quad (1.36)$$

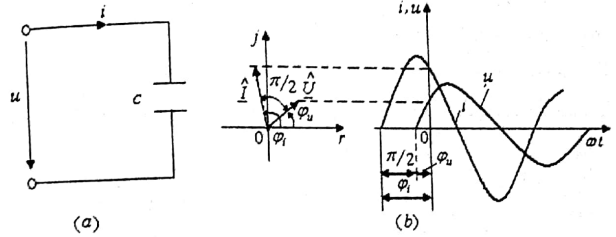
وتسمى (B_L) بالسماحية التحريضية وتقاس بالسيمينس ، ونلاحظ من العلاقتين (1.35) و (1.36) أن كل من الممانعة العقديّة والسماحية العقديّة للدارة المكونة من ملف تحريضي فقط تأخذ قيماً تخيلية (ذات صفة ردية) فقط .

ج- السعة (C) : وهي عنصر الدارة الذي يقوم بتخزين الطاقة الكهربائية كطاقة حقل كهربائي . فإذا طبقنا على مأخذي مكثف سعته (C) ، كما في الشكل (١٥-١) جهداً جيبياً $u(t) = \hat{U} \sin(\omega t + \varphi_u)$ فسيمر تيار في الدارة قيمته اللحظية :

$$i(t) = \frac{dq}{dt} = \frac{dCu(t)}{dt} = C \frac{du(t)}{dt}$$

$$= \omega C \hat{U} \cos(\omega t + \varphi_u) = \hat{I} \sin(\omega t + \varphi_u + \frac{\pi}{2})$$

$$= \hat{I} \sin(\omega t + \varphi_i) \quad (1.37)$$



الشكل (١٥-١)

a- دائرة كهربائية بمكثف فقط

b- التمثيل البياني والشعاعي للعلاقة بين الجهد والتيار في الدارة

إن المقاومة الظاهرية في هذه الحالة تساوي حاصل قسمة مطال الجهد على مطال التيار، ومن العلاقة (1.37) نجد أن : $\omega C \hat{U} = \hat{I}$ ، ومنه فالمقاومة الظاهرية تساوي :

$$Z = \frac{\hat{U}}{\hat{I}} = \frac{1}{\omega C}$$

ونلاحظ أيضاً أن : $\varphi_i = \varphi_u + \frac{\pi}{2}$ أو $\varphi_u = \varphi_i - \frac{\pi}{2}$

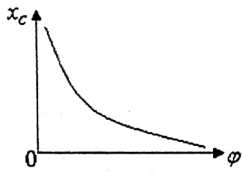
وهذا يعني أن الفرق في زاوية الطور بين الجهد والتيار يساوي $(90^\circ -)$ ، أو يقال بأن التيار في المكثف يتقدم على الجهد بمقدار ربع دورة .

وكما كان هو الحال بالنسبة للمقاومة والملف ، فإن الممانعة العقديّة للدارة بمكثف تساوي :

$$Z = \frac{\hat{U}}{\hat{I}} = \frac{\hat{U} e^{j\varphi_u}}{\omega C \hat{U} e^{j(\varphi_u + \frac{\pi}{2})}} = \frac{1}{j\omega C} = -j x_C \quad (1.38)$$

إن قيمة $(x_C = \frac{1}{\omega C})$ تسمى بالمفاعلة السعوية للمكثف (المقاومة التخيلية السعوية)

وتقاس بالأوم . ويتلخص المعنى الفيزيائي للمفاعلة السعوية في إعاقة مرور التيار عبر المكثف بسبب وجود شحنة على صفيحتيه . وتتناسب هذه المفاعلة عكساً مع التردد (ω) كما هو موضح في الشكل (١٦-١) .



الشكل (١٦-١)

ف عندما تكون قيمة $(\omega = 0)$ ، أي للتيار المستمر ، فإن (x_C) تأخذ قيمة لا نهائية وهذا يعني أنه في نظام العمل المستمر لا يمرر المكثف تياراً مستمراً ، ومع تزايد قيمة (ω) تتناقص المفاعلة السعوية للمكثف .

وتعطي السماحية العقديّة للدارة المدروسة كما يلي :

$$Y = \frac{\hat{I}}{\hat{U}} = \frac{1}{Z} = j\omega C = jB_C \quad (1.39)$$

حيث $B_C = \omega C$ السماحية السعوية ، وتقاس بالسيمينس .

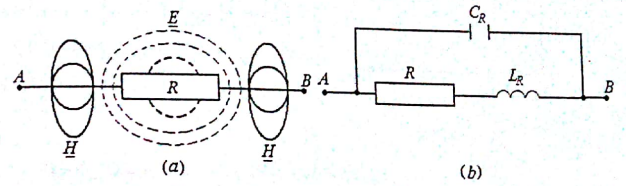
ومن العلاقتين (1.38) و (1.39) يتضح أن الممانعة العقديّة والسماحية العقديّة لدارة بمكثف تملكان قيمةً تخيلية (ذات صفة ردية) فقط .

ونذكر هنا أن المقاومة الظاهرية لكل من الملف والمكثف لا تمتلك المعنى الفيزيائي للمقاومة وإنما تمثل قيمة حسابية بحثة لها بُعد المقاومة ، ولذلك تسمى بالمقاومة الظاهرية .

وتدعى العناصر الثلاثة (المقاومة ، والملف ، والمكثف) بوصفها المنكورة أعلاه من حيث قيامها بنوع واحد فقط من أنواع تحويل الطاقة الكهربائية بالعناصر المثالية (النقية) .

إلا أنه من غير الممكن في الحياة العملية تصنيع هذه العناصر بشكلها المثالي ، فالمقاومة مثلاً ، تصنع إما من سلك ملفوف أو من طبقات فحمية أو معدنية ، وبالتالي فهي تملك سعة (C) وتحريض (L) ، بحيث إن قيمة كل منهما تتعلق بالبنية التصميمية للمقاومة العملية (الحقيقية) ، ويجب أخذ هاتين القيمتين بالاعتبار عند حساب الدارات الكهربائية في بعض الحالات المحددة . والشئ نفسه ينطبق على الملف العملي والمكثف العملي . ويتم بمساعدة العناصر المثالية (R,L,C) وضع الدارات المكافئة لكل من العناصر العملية الأساسية والتي توضح خواص هذه العناصر ووسائطها ، ويمكن حساب وسائط الدارات المكافئة لعناصر التوصيل العملية ، إما بالطريقة التجريبية أو الحسابية .

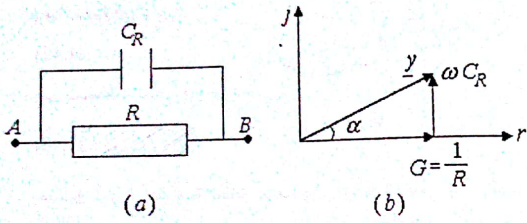
د- المقاومة الأومية العملية : يبين الشكل (17-1) المقاومة العملية ودارتها المكافئة التقريبية .



الشكل (17-1) H- شدة الحقل المغناطيسي ، E- شدة الحقل الكهربائي
a- المقاومة الأومية العملية ، b- الدارة المكافئة التقريبية للمقاومة العملية

ويمكن أن تكون دارة المقاومة العملية أكثر تعقيداً عند مراعاة وجود السعة الأرضية ، أو عند اعتبار أن عناصر التوصيل (L,C) هي عناصر غير مجمعة . وسنكتفي بهذا التقريب لدارة المكافئة للمقاومة العملية ، ونناقش الحالتين الحديتين الآتيتين للدارة المكافئة .

1- قيمة (R) كبيرة : وبالتالي يمكن إهمال قيمة المفاعلة التحريضية (ωL) مقارنة مع قيمة (R) ، وتصبح الدارة المكافئة كما في الشكل (18-1) .



الشكل (18-1)

a- الدارة المكافئة للمقاومة العملية ، b- المخطط الشعاعي ليدارة

توليد المقامات

ونلاحظ أن ممانعة الدارة ستكون مساوية :

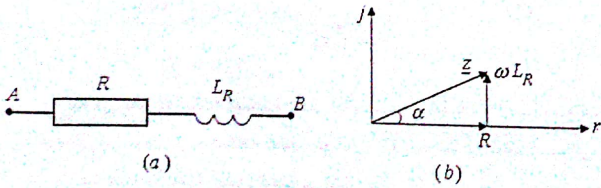
$$Z_{AB} = R \parallel \frac{1}{j\omega C_R} = \frac{1}{\frac{1}{R} + j\omega C_R} = \frac{R}{1 + j\omega C_R R} \quad (1.40)$$

ومن المخطط الشعاعي نرى أن :

$$\tan \alpha = \frac{\omega C_R R}{\frac{1}{R}} = \omega C_R R^2 \quad (1.41)$$

2- قيمة (R) صغيرة : يمكن إهمال قيمة (1/ωC_R) مقارنة مع (R) لتكون الدارة

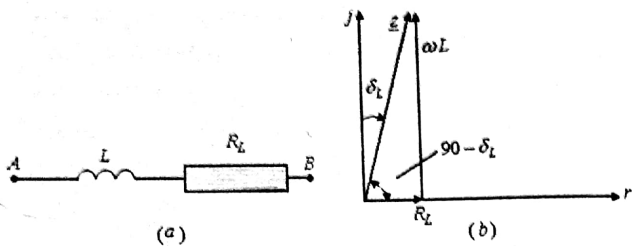
المكافئة ومخططها الشعاعي في هذه الحالة كما في الشكل (19-1) .



الشكل (19-1)

a- الدارة المكافئة للمقاومة العملية ، b- المخطط الشعاعي ليدارة

$$\underline{Z}_{AB} = R_L + j\omega L \quad (1.44)$$



الشكل (٢١-١)

a- الدارة المكافئة لملف هوائي ، b- المخطط الشعاعي لهذه الدارة

ونلاحظ من المخطط الشعاعي أن زاوية فرق الطور بين الجهد المطبق على مأخذ الملف العملي والتيار المار فيه لا تساوي (90°) كما هو الحال في الملف المثالي ، بينما تكون مساوية $(90^\circ - \delta_L)$ ، حيث تسمى (δ_L) بزاوية ضياع الملف ، بينما يعبر $(\tan \delta_L = d_L)$ عن عامل ضياع الملف والذي يساوي :

$$\tan \delta_L = d_L = \frac{R_L}{\omega L} \quad (1.45)$$

وتحسب مقاومة ضياع الملف (المقاومة الداخلية للملف) من العلاقة (1.45) :

$$R_L = \omega L d_L \quad (1.46)$$

ويسمى مقلوب عامل ضياع الملف بجودة الملف ونرمز لها بالرمز (Q_L) .

$$Q_L = \frac{1}{d_L} \quad (1.47)$$

وتأخذ ممانعة الملف الشكل الآتي :

$$\underline{Z}_{AB} = R_L + j\omega L = \omega L \left(j + \frac{R_L}{\omega L} \right) = \omega L (j + \tan \delta_L)$$

$$\underline{Z}_{AB} = \omega L (j + d_L) \quad (1.48)$$

$$\underline{Z}_{AB} = R + j\omega L_R$$

وهذا ممانعة الدارة هي :

$$(1.42)$$

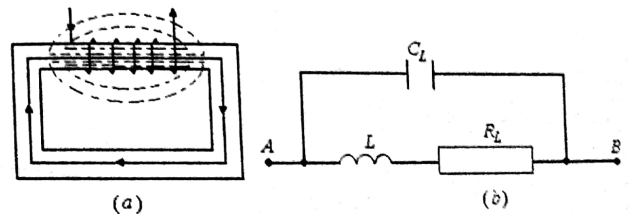
ومن المخطط الشعاعي الموافق نجد :

$$\tan \alpha = \frac{\omega L_R}{R}$$

$$(1.43)$$

مما سبق نرى أن المقاومة العملية تختلف عن المقاومة المثالية ، إذ إن الفرق بين زاوية طور الجهد المطبق على المقاومة العملية وزاوية طور التيار المار بها لا يساوي الصفر كما هو الحال بالنسبة للمقاومة الأومية المثالية وإنما تمتلك المقاومة العملية زاوية ضياع (α) تختلف قيمتها بحسب قيم كل من (ωL_R) و $(\frac{1}{\omega C_R})$ بالنسبة لقيمة (R) .

هذا الملف العملي : نبين على الشكل (٢٠-١) الملف ذا القلب الحديدي ودارته المكافئة التقريبية ، إذ إن كل ملف يمتلك مقاومة (R_L) وسعة (C_L) ذاتيتين تعبران عن ضياعات الاستطاعة في سلك الملف وفي القلب الحديدي وعن السعة بين لفات الملف .

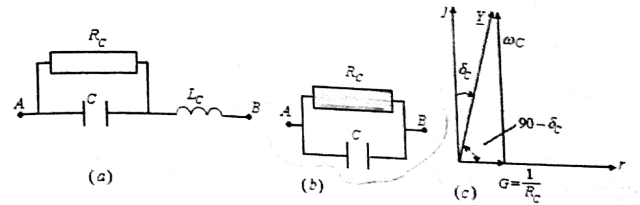


الشكل (٢٠-١)

يتم في حالة الترددات المنخفضة إهمال التأثير السعوي للملف مقارنة مع تأثيره التحريضي مما يجعل دارته المكافئة تنطبق مع الدارة التقريبية المكافئة للملف الهوائي مع عدم مراعاة السعة الأرضية أيضاً والمبينة في الشكل (٢١-١) .

واضح من المخطط الشعاعي والدارة المكافئة أن ممانعة الملف العملي تأخذ الشكل الآتي :

و- المكثف العملي : تؤثر العديد من العوامل والاعتبارات في شكل الدارة المكافئة للمكثف العملي كذلك توصيل المكثف والعازل الكهربي الموجود بين صفيحتي المكثف مما يؤدي إلى ضياعات تمثل في دارة المكثف بمقاومة (R_C) . كما أن مرور التيار في سلكي توصيل المكثف وعلى سطحي صفيحتي المكثف والناجم عن تغير قطبية هاتين الصفيحتين يؤدي إلى ظهور حقل مغناطيسي متغير يجبر عنه في الدارة المكافئة للمكثف العملي بتحريض (L_C) .



الشكل (٢٢-١)

a- دارة المكثف العملي عند الترددات العالية

b- دارة المكثف العملي عند الترددات المنخفضة

c- المخطط الشعاعي للدارة المكافئة (b)

عندما تكون سعة المكثف كبيرة وخاصة عند الترددات العالية فإنه لا يمكن إهمال قيمة التحريض (L_C) وتكون دارته المكافئة كما في الشكل (٢٢-١) (a) ، أما عندما تكون سعة المكثف صغيرة وخاصة في الترددات المنخفضة يمكن إهمال أثر التحريض (L_C) للمكثف وتستخدم عندها الدارة المكافئة المبينة في الشكل (٢٢-١) (b) ، وهي أبسط دارات المكثف العملي . وكما هو واضح من المخطط الشعاعي لهذه الدارة في الشكل (٢٢-١) (c) فإن الفرق بين زاويتي طور الجهد والتيار عند مأخذي المكثف العملي لا يساوي (90°) بل يساوي $(\varphi = 90 - \delta_C)$ ، حيث تدعى (δ_C) بزاوية ضياع المكثف ، ومنه فإن عامل ضياع هذا المكثف يساوي :

$$\tan \delta_C = d_C = \frac{1/R_C}{\omega C} = \frac{1}{\omega C R_C} = \frac{1}{Q_C} \quad (1.49)$$

$$\frac{1}{1 + \omega^2 C^2 R^2} = \frac{1}{1 + d_C^2} = \frac{1}{\omega C (1 + d_C^2)}$$

$$-j \frac{\omega C R^2}{1 + \omega^2 C^2 R^2} = -j \frac{R/d_C}{1 + d_C^2} = j \frac{R \cdot d_C}{\omega C (1 + d_C^2)}$$

حيث Q_C : جودة المكثف ←

وتتعلق قيمة عامل ضياع المكثف بنوع العازل الكهربي المستخدم في المكثف ، وبشكل المكثف ، وبالتردد . أما مقاومة ضياع المكثف فتحسب من العلاقة (1.49) :

$$R_C = \frac{1}{d_C \omega C} \quad (1.50)$$

وتكون مساحية المكثف مساوية :

$$Y_{AB} = \frac{1}{R_C} + j\omega C = d_C \omega C + j\omega C = \omega C (d_C + j) \quad (1.51)$$

أما المعامنة العنقودية المكافئة على مأخذي المكثف العملي لهذه الحالة فهي :

$$Z_{AB} = \frac{1}{Y_{AB}} = \frac{R - j\omega C R^2}{1 + \omega^2 C^2 R^2} - j \frac{\omega C R^2}{1 + \omega^2 C^2 R^2}$$

$$= \frac{1}{\omega C d_C + j\omega C} = \frac{\omega C d_C}{\omega C (\omega C d_C^2 + \omega C)} - j \frac{\omega C}{\omega C (\omega C d_C^2 + \omega C)}$$

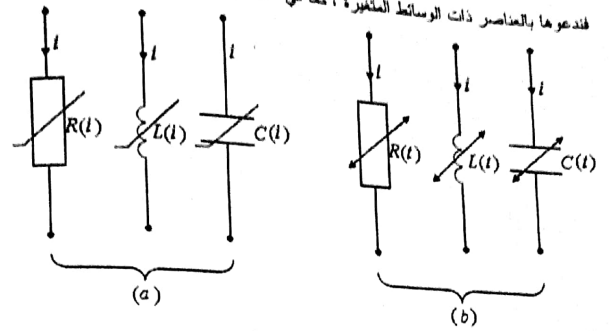
$$Z_{AB} = R_S - jX_S = \frac{d_C}{\omega C (d_C^2 + 1)} - j \frac{1}{\omega C (d_C^2 + 1)} \quad (1.52)$$

ونشير أخيراً إلى أن زاوية ضياع المكثف العملي (δ_C) لا تتغير عند تحويل الدارة المكافئة التفرعية للمكثف إلى دارة تسلسلية مكافئة على مأخذيها .

كما يمكن أن تكون العناصر غير الفعالة في الدارة الكهربية عناصر خطية أو غير خطية ذات وسائط ثابتة أو بوسائط متغيرة . إن العناصر المدروسة أعلاه (R, L, C) بنوعها المثالية والعملية تعد عناصر خطية ذات وسائط ثابتة .

ز- العناصر الخطية وغير الخطية : تعد العناصر غير الفعالة في الدارة عناصر خطية إذا كانت وسائطها لا تتغير بتغير قيمة الجهد المطبق عليها أو بتغير شدة التيار المار فيها ، أما إذا تعلقت قيم (وسائط) العناصر غير الفعالة بقيم الجهد المطبق عليها أو التيار المار فيها فإنها تسمى بالعناصر غير الخطية (اللاخطية) ويرمز لها كما في الشكل (٢٣-١) (a) . وتدعى العناصر غير الفعالة ذات الوسائط الثابتة بالعناصر الخطية التي لا تتعلق وسائطها

بالزمن ، أما إذا كانت عناصر الدارة ذات وسائط تتغير مع الزمن حسب قانون محدد مسبقاً فندعوها بالعناصر ذات الوسائط المتغيرة ، كما في الشكل (٢٣-١) (b) .



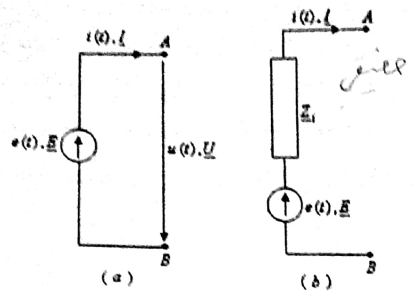
الشكل (٢٣-١)

٢-٥-١ العناصر الفعالة (النشيطة) Active Elements :

يتم في هذه العناصر توليد الطاقة الكهربائية من شكل آخر من أشكال الطاقة : كالطاقة الميكانيكية أو الكيميائية ... أو غيرها . وتسمى هذه العناصر منابع الطاقة الكهربائية (منابع الجهد ومنابع التيار) . وتصنف هذه المنابع كما يلي :

أولاً- المنابع المستقلة : يمكن للمنابع المستقلة أن تكون مثالية أو حقيقية .

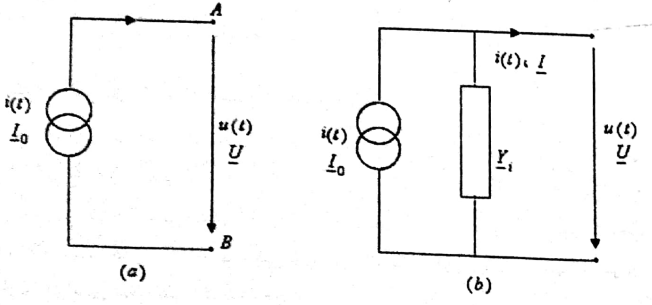
أ- منبع الجهد المستقل المثالي (المنبع المثالي للقوة المحركة الكهربائية الجيبية) : ويصنف هذا النوع من المنابع بأن الجهد على مآخذه $u(t)$ لا يتعلق بشدة التيار المار فيه ، كما أنه لا يحتوي على عناصر غير فعالة (R, L, C) ، أي أن ممانعته الداخلية تساوي الصفر ، ولذلك ليس هناك أي هبوط في الجهد على طرفيه $[u(t) = e(t) = \hat{E} \sin(\omega t + \varphi)]$ ويمكن أن نعتبر عنه بدقة بواسطة القوة المحركة الكهربائية العقدية $(E = \hat{E} / \sqrt{2} , \underline{E} = E e^{j\varphi})$ ، ونرمز لمنبع الجهد المستقل المثالي كما في الشكل (٢٤-١) (a) ، حيث يدل السهم على الاتجاه الموجب للقوة المحركة الكهربائية .



الشكل (٢٤-١)

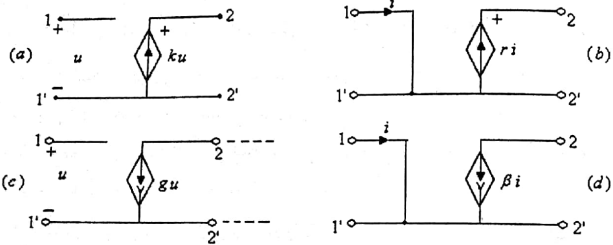
ب- منبع الجهد المستقل الحقيقي : يملك منبع الجهد الحقيقي ممانعة داخلية (Z_i) ، ويمكن رسم دارته المكافئة كدارة تسلسلية مؤلفة من القوة المحركة الكهربائية والممانعة الداخلية كما في الشكل (٢٤-١) (b) ، ونذكر أن الممانعة الداخلية لهذا المنبع تكون صغيرة نسبياً بالمقارنة مع ممانعة الدارة الخارجية (الحمولة) .

ج- منبع التيار المستقل المثالي : لا يعتمد التيار المار في هذا المنبع على قيمة الجهد المطبق على مآخذه (السماحية الداخلية لمنبع التيار تساوي الصفر ، أي أن الممانعة الداخلية تعد ذات قيمة لانهائية في الكبر) ، ويوضح الشكل (٢٥-١) (a) منبع تيار مستقل مثالي .



الشكل (٢٥-١)

منبع الجهد المقاد بجهد (أو يسمى بمنبع الجهد التابع لجهد ما VDVS) كما في الشكل (٢٧-١) (a)، ومنبع الجهد المقاد بتيار (CDVS) كما في الشكل (٢٧-١) (b) ومنبع التيار المقاد بجهد (VDCS) ويوضحه الشكل (٢٧-١) (c)؛ بالإضافة إلى منبع التيار المقاد بتيار (CDCS) والموضح في الشكل (٢٧-١) (d). وعلى هذه الأشكال تم وضع النسب التي تصف علاقات القيم التابعة، حيث تعبر عنها العوامل (k, r, g, β)، وتكون هذه العوامل إما موجبة أو سالبة، وتصف بشكل دقيق وكامل المنبع المقاد.



الشكل (٢٧-١) منابع الجهد والتيار المقادة

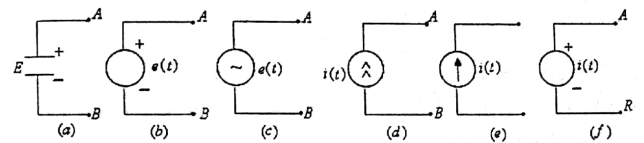
وكما ذكرنا سابقاً فإن الدارات الكهربائية تختلف تبعاً لصفة العناصر المكونة لها، ومن هنا يمكن تمييز دارات فعالة وغير فعالة، ودارات خطية وغير خطية، ودارات ذات وسائط ثابتة وذات وسائط متغيرة، وأخيراً دارات ذات وسائط مجمعة أو ذات وسائط موزعة.

- الدارة الكهربائية غير الفعالة: هي الدارة الكهربائية التي لا تحتوي منابع طاقة كهربائية. أما عندما تحتوي الدارة منبعاً كهربائياً فتسمى بالدارة الفعالة.
- الدارة الكهربائية الخطية: وهي الدارة التي تحتوي عناصر خطية، وفي حالة وجود أي عنصر غير خطي فيها فتدعى عندما بالدارة غير الخطية. وعندما تحتوي الدارة على عناصر ذات وسائط متغيرة فإنها تدعى دارة ذات وسائط متغيرة، وفي الحالة الأخرى فهي دارة ذات وسائط ثابتة.

د- منبع التيار المستقل الحقيقي: يمثل هذا المنبع كما في الشكل (٢٥-١) (b) بدارة تفرعية تحتوي منبع التيار $i(t)$ (قيمته تساوي قيمة تيار القصر للمنبع)، وسماعية (Y_i)، وبالتالي فإن جهد اللاحمل على مأخذي هذا المنبع يكون ذا قيمة محددة نظراً لامتلاك منبع التيار الحقيقي ممانعة محددة تساوي ($Z_i = \frac{1}{Y_i}$). ويمكن الانتقال من مخطط منبع الجهد الشكل (٢٤-١) (b) إلى المخطط المكافئ لمنبع التيار الشكل (٢٥-١) (b) باستخدام العلاقات:

$$\left. \begin{aligned} \underline{I} &= \frac{\underline{E}}{\underline{Z}_i} \\ \underline{Y}_i &= \frac{1}{\underline{Z}_i} \end{aligned} \right\} (1.53)$$

ونشير هنا إلى رموز مختلفة للمنابع المستقلة للجهد والتيار قد تصادف في مراجع علمية أخرى، ويلزم التعريف بها في الشكل (٢٦-١).



الشكل (٢٦-١)

a, b, c - منابع جهد مستقلة مثالية، d, e, f - منابع تيار مستقلة مثالية

ثانياً- المنابع غير المستقلة (المنابع المقادة أو التابعة):

وهي منابع الطاقة الكهربائية (منابع الجهد والتيار) التي يكون فيها الجهد أو التيار في أحد الفروع يتعلق بالجهد أو التيار في الفرع الآخر من الدارة الكهربائية، وتملك هذه المنابع زوجين من المآخذ كما في الشكل (٢٧-١). مأخذ الدخل (1 - 1') حيث يطبق الجهد المعطى أو التيار ومأخذ الخرج (2 - 2') والتي يتم وصل الأحمال أو أي دارة أخرى إليها. ونميز أربعة أنواع من منابع الطاقة المقادة وهي:

إن جميع الدوائر الحقيقية تعد حتماً دوائر غير خطية . إلا أن معظم هذه الدوائر يتم دراستها وتحليلها كدوائر خطية مع بعض التقريب المسموح به في الحياة العملية مما يسمح بتبسيط الحسابات عن طريق استخدام نظرية الدوائر الكهربائية الخطية .
وفي الدوائر ذات الوسائط المتجمعة يتم اعتبار جميع المقاومات الأومية والملفات والمكثفات مجمعة أو مركزة في أجزاء محددة من الدارة . أما في الدوائر ذات الوسائط الموزعة فتعد المقاومات والملفات والمكثفات موزعة على طول الدارة .

٦-١ الصيغ العقدية لقانون أوم وقانوني كيرشوف وقاعدتي تقسيم الجهد والتيار:

إن معرفة القوانين والقواعد المستخدمة في حل الدوائر الكهربائية بشكلها العقدي يساعد في تعميم طرق حساب الدوائر الكهربائية المستخدمة في التيار المستمر على دوائر التيار المتردد ، مع الانتباه إلى أن الحسابات في التيار المستمر كانت تتم بالقيم الحقيقية بينما تكون في التيار المتردد بالقيم العقدية .

١- قانون أوم : يعبر عن قانون أوم العقدي للدائرة المبينة في الشكل (٢٨-١) كما يلي :

$$\underline{U} = \underline{Z} \underline{I} , \quad \underline{\hat{U}} = \underline{Z} \underline{\hat{I}} \quad (1.54)$$

حيث \underline{Z} : الممانعة العقدية لعنصر الدارة ، بغض النظر عن كونه مقاومة أومية أو ملف أو مكثف $[\Omega]$.
 \underline{U} ، \underline{I} : التيار والجهد العقدي الفعال .
 $\underline{\hat{U}}$ ، $\underline{\hat{I}}$: المطال العقدي للتيار والجهد .

الشكل (٢٨-١)

٢- قانونا كيرشوف : لكتابة المعادلات حسب قانوني كيرشوف يجب أولاً اختيار

الاتجاهات الموجبة لجميع التيارات وتوضيحها على مخطط الدارة .

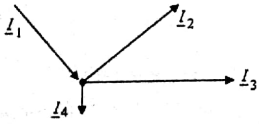
أ- قانون كيرشوف الأول : وينص هذا القانون على أن المجموع الجبري للتيارات في

أية عقدة من عقد الدارة الكهربائية يساوي الصفر، ومن هنا جاءت تسميته بقانون العقد .
وعادة يتم أخذ إشارات التيارات الداخلة إلى العقدة موجبة والتيارات الخارجة منها بإشارة

سالبة ، وعلى سبيل المثال بالنسبة للعقدة المبينة في الشكل (٢٩-١) يمكن كتابة قانون كيرشوف الأول كما يلي :

$$\left. \begin{aligned} \sum_{k=1}^n I_k &= 0 \\ I_1 - I_2 - I_3 - I_4 &= 0 \end{aligned} \right\} \quad (1.55)$$

ويجب الإشارة إلى أن قانون كيرشوف الأول يعد نتيجة لقانون حفظ الشحنة الذي ينص على أن الشحنة الداخلة إلى عقدة خلال فترة زمنية تساوي الشحنة الخارجة منها خلال الفترة الزمنية نفسها ، أي أن الشحنة الكهربائية لا تختزن ولا تستهلك .



الشكل (٢٩-١)

ب- قانون كيرشوف الثاني : وينص هذا القانون على أن المجموع الجبري للقوى المحركة الكهربائية المؤثرة في أية حلقة مغلقة من دارة كهربائية يساوي المجموع الجبري لهبوطات الجهد على عناصر هذه الحلقة . وللشكل (٣٠-١) يمكن كتابة هذا القانون على النحو الآتي :

$$\left. \begin{aligned} \sum_{k=1}^n E_k &= \sum_{k=1}^n Z_k I_k \\ \underline{E}_1 + \underline{E}_2 - \underline{E}_3 &= -\underline{Z}_1 I_1 - \underline{Z}_2 I_2 + \underline{Z}_3 I_3 \end{aligned} \right\} \quad (1.56)$$

ونشير إلى أنه عند كتابة المعادلات حسب قانون كيرشوف الثاني يجب اختيار الحلقات التي لا تضم منابع تيار، وتؤخذ بإشارة موجبة القوى المحركة الكهربائية وهبوطات الجهود التي يتوافق اتجاهها مع الاتجاه المختار للحلقة المغلقة وتؤخذ بإشارة سالبة عندما لا تتوافق اتجاهاتها مع اتجاه الحلقة .

وتأخذ هذه القاعدة الصيغة الآتية :

$$\left. \begin{aligned} I_1 &= I \frac{Z_2}{Z_1 + Z_2} \\ I_2 &= I \frac{Z_1}{Z_1 + Z_2} \end{aligned} \right\} (1.58)$$

مثال (٧) : وضح بياناً كيفية تغير قيم X_C و X_L كنتابع للتردد (ω) ونلتك عندما تتغير (ω) في المجال $(400 < \omega < 4000 \text{ rad/sec})$ وباعتبار أن قيمة $(L = 40 \text{ mH})$ و $(C = 25 \mu F)$.

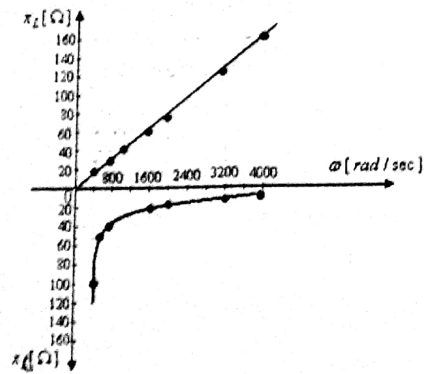
الحل :

نحسب قيمة كل من $(X_C = \frac{1}{\omega C})$ ، $(X_L = \omega L)$ عندما يتغير التردد في المجال

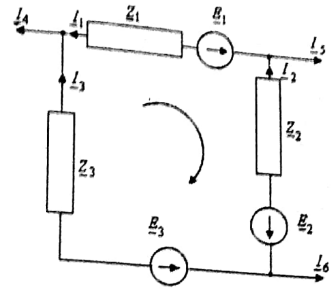
المذكور، ونضع النتائج في الجدول (٣-١)، ومن ثم نرسم المنحنيات التي توضح تغير كل من $(X_C$ و $X_L)$ بتغير التردد، الشكل (٣٣-١).

الجدول (٣-١)

ω [rad/sec]	X_L [Ω]	X_C [Ω]
400	16	100
800	32	50
1000	40	40
1600	64	25
2000	80	20
3200	128	12.5
4000	160	10

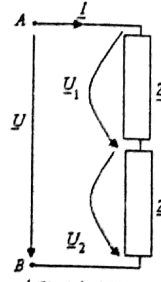


الشكل (٣٣-١)



الشكل (٣٠-١)

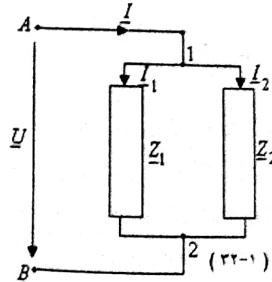
٣- قاعدة تقسيم الجهد : تعبر عن قاعدة تقسيم الجهد بصيغتها المعقدة حسب ما هو



موضح على الشكل (٣١-١) كما يلي :

$$\left. \begin{aligned} U_1 &= U \frac{Z_1}{Z_1 + Z_2} \\ U_2 &= U \frac{Z_2}{Z_1 + Z_2} \end{aligned} \right\} (1.57)$$

وتهدف هذه القاعدة إلى حساب الجهد الهابط على ممانعة عنصر ما في الدارة التسلسلية بملاقة الجهد الكلي (U) الذي يتم تقسيمه بين عنصري هذه الدارة .



٤- قاعدة تقسيم التيار : تساعد هذه القاعدة

في حساب التيار المار في فرع ما من دارة تفرعية (التيار الجزئي I_1 أو I_2) بملاقة التيار الكلي الذي يتم تقسيمه بين الفرعين اللذين يقعان بين العنصرين (1 و 2) حسب الشكل (٣٢-١) .

وباستخدام العلاقات (1.17) و (1.18) لإيجاد حاصل تراكب تابعين جيبيين (الطرف الثاني من المعادلة التفاضلية) ومعرفة أن $\sin(\alpha + \frac{\pi}{2}) = \cos \alpha$ نكتب :

$$\hat{U} \sin \omega t = \hat{I} \sqrt{R^2 + (\omega L - \frac{1}{\omega C})^2} \sin(\omega t + \varphi_1 + \arctan \frac{\omega L - \frac{1}{\omega C}}{R})$$

وبمقارنة طرفي هذه المعادلة يكون :

$$\hat{U} = \hat{I} \sqrt{R^2 + (\omega L - \frac{1}{\omega C})^2} \Rightarrow \hat{I} = \frac{\hat{U}}{\sqrt{R^2 + (\omega L - \frac{1}{\omega C})^2}} \Rightarrow Z = \frac{U}{I}$$

$$0 = \varphi_1 + \arctan \frac{\omega L - \frac{1}{\omega C}}{R} \Rightarrow \varphi_1 = -\arctan \frac{\omega L - \frac{1}{\omega C}}{R}$$

وبتعويض قيمتي المظالم (\hat{I}) وزاوية الطور (φ_1) في معادلة الحل العام نحصل على القيمة اللحظية للتيار المار في الدارة :

$$i(t) = \frac{\hat{U}}{\sqrt{R^2 + (\omega L - \frac{1}{\omega C})^2}} \sin(\omega t - \arctan \frac{\omega L - \frac{1}{\omega C}}{R})$$

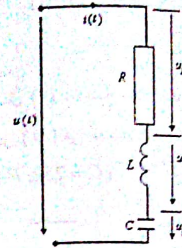
وتكون القيم اللحظية للجهود الجزئية على عناصر الدارة :

$$u_R = iR = \frac{\hat{U} R}{\sqrt{R^2 + (\omega L - \frac{1}{\omega C})^2}} \sin(\omega t - \arctan \frac{\omega L - \frac{1}{\omega C}}{R})$$

أي الجهد والتيار متفان في الطور في عنصر الدارة (R) مع اختلاف مقدارهما

مثال (٨) :

في الدارة التسلسلية المبينة في الشكل (٣٤-١) سيمر التيار $i(t) = \hat{I} \sin(\omega t + \varphi_1)$ نتيجة لتطبيق جهد جيبي $u(t) = \hat{U} \sin \omega t$. والمطلوب :



الشكل (٣٤-١)

- أ- أوجد القيمة اللحظية للتيار المار في الدارة ، والقيم اللحظية للجهود الجزئية على العناصر الثلاثة .
- ب- أوجد المقاومة الظاهرية للدارة .

الحل :

١- نطبق قانون كيرشوف الثاني لتقييم اللحظية فنحصل على المعادلة :

$$u(t) = u_R + u_L + u_C$$

وكما رأينا سابقاً فإن :

$$u_R = iR , u_L = L \frac{di}{dt} , u_C = \frac{1}{C} \int i dt$$

نعوض في المعادلة فنجد أن :

$$u(t) = iR + L \frac{di}{dt} + \frac{1}{C} \int i dt$$

وهي معادلة تفاضلية من الدرجة الثانية ، حلها العام هو : $i(t) = \hat{I} \sin(\omega t + \varphi_1)$.

نعوض قيمة $i(t)$ في المعادلة التفاضلية فيكون :

$$\hat{U} \sin \omega t = \hat{I} [R \sin(\omega t + \varphi_1) + \omega L \cos(\omega t + \varphi_1) - \frac{1}{\omega C} \cos(\omega t + \varphi_1)]$$

$$\hat{U} \sin \omega t = \hat{I} [R \sin(\omega t + \varphi_1) + (\omega L - \frac{1}{\omega C}) \sin(\omega t + \varphi_1 + \frac{\pi}{2})]$$

نحولها إلى الشكل التالي :

$$u(t) = u_R + u_L + u_C$$

$$= iR + L \frac{di}{dt} + \frac{1}{C} \int i dt$$

رسم معطيات الجول (٣-١) نكتب :

$$u(t) = iR + j\omega L i - j \frac{1}{\omega C} i = [R + j(\omega L - \frac{1}{\omega C})] i$$

ومنه :

$$i = \frac{u}{R + j(\omega L - \frac{1}{\omega C})} = \frac{U e^{j\omega t}}{\sqrt{R^2 + (\omega L - \frac{1}{\omega C})^2} e^{j\phi}}$$

$$\phi = \arctan \frac{\omega L - \frac{1}{\omega C}}{R}$$

وبالتالي :

$$i = \frac{U}{\sqrt{R^2 + (\omega L - \frac{1}{\omega C})^2}} e^{j(\omega t - \phi)}$$

وحسب العلاقة (1.28) نجد تحويل هذه القيمة المعقدة لتغير الحمل في الدارة إلى القيمة الحقيقية الحقيقية :

$$i(t) = \text{Im}[i]$$

$$i(t) = \frac{U}{\sqrt{R^2 + (\omega L - \frac{1}{\omega C})^2}} \sin(\omega t - \arctan \frac{\omega L - \frac{1}{\omega C}}{R})$$

بالمقارنة بين طريقتي حل المعادلة التفاضلية في المستوى الحقيقي وحلها في المستوى العقدي نلاحظ أن طريقة الحل في المستوى الحقيقي تتطلب وقتاً وجهداً كبيرين مقارنة مع الحل في المستوى العقدي .

$$u_L = L \frac{di}{dt} =$$

$$= \frac{U \omega L}{\sqrt{R^2 + (\omega L - \frac{1}{\omega C})^2}} \sin(\omega t - \arctan \frac{\omega L - \frac{1}{\omega C}}{R} + \frac{\pi}{2})$$

أي أن الجهد والتوتر على سلك في الدارة في عنصر الدارة (L) على أن الجهد على هذا العنصر يسبق التيار لمدته بزاوية $(\frac{\pi}{2})$ مع اختلاف معطياتها :

$$u_C = \frac{1}{C} \int i dt =$$

$$\frac{U}{\omega C \sqrt{R^2 + (\omega L - \frac{1}{\omega C})^2}} \sin(\omega t - \arctan \frac{\omega L - \frac{1}{\omega C}}{R} - \frac{\pi}{2})$$

أي أن الجهد يتأخر عن التيار لمدته بزاوية $(\frac{\pi}{2})$ مع اختلاف معطياتها .

نلاحظ أن المعادلات الثلاثة السابقة هي قيمة حسابية تساوي حاصل

$$Z = \frac{U}{I} = \frac{U}{I} = \sqrt{R^2 + (\omega L - \frac{1}{\omega C})^2}$$

مثل (٩) :

إيجاد القيمة المعقدة لتغير الحمل في الدارة السببية في الشكل (٣-٤) عن طريق حل المعادلة التفاضلية في المستوى العقدي .

الحصل : - طريقة أولى :

المعادلة التفاضلية حسب قانون كيرشوف التالي هي :

$$u(t) = u_R + u_L + u_C$$

طريقة ثانية :

$$u(t) = u_R + u_L + u_C = \hat{U}_R \sin(\omega t + \varphi_i) + \hat{U}_L \sin(\omega t + \varphi_i + \frac{\pi}{2}) + \hat{U}_C \sin(\omega t + \varphi_i - \frac{\pi}{2})$$

ولكن كما رأينا في الفقرة (1-0-1) فإن :

$$\hat{U}_R = R \hat{I} , \hat{U}_L = X_L \hat{I} = \omega L \hat{I} , \hat{U}_C = X_C \hat{I} = \frac{\hat{I}}{\omega C}$$

وحسب الصيغة العقدية لقانون كيرشوف الثاني المعطاة في العلاقة (1.56) نكتب :

$$\hat{U} = \hat{U}_R + \hat{U}_L + \hat{U}_C = \hat{U}_R e^{j\varphi_i} + \hat{U}_L e^{j(\varphi_i + \frac{\pi}{2})} + \hat{U}_C e^{j(\varphi_i - \frac{\pi}{2})}$$

$$\hat{U} = R \hat{I} e^{j\varphi_i} + j \omega L \hat{I} e^{j\varphi_i} - j \frac{1}{\omega C} \hat{I} e^{j\varphi_i}$$

$$\hat{U} = \hat{I} [R + j(\omega L - \frac{1}{\omega C})] e^{j\varphi_i}$$

ومنه مطال التيار العقدي المار في الدارة التسلسلية يساوي :

$$\hat{I} = \frac{\hat{U} e^{j(0-\varphi_i)}}{[R + j(\omega L - \frac{1}{\omega C})] e^{j\varphi_i}} = \frac{\hat{U} e^{j(0-\varphi_i)}}{\sqrt{R^2 + (\omega L - \frac{1}{\omega C})^2}}$$

وكصيغة شعاع ساكن يكون التيار العقدي المار في الدارة :

$$\underline{\hat{I}} = \frac{\hat{U}}{\sqrt{R^2 + (\omega L - \frac{1}{\omega C})^2}} e^{-j\varphi_i}$$

وللحصول على التيار اللحظي العقدي نضرب بـ $(e^{j\omega t})$:

$$i = \frac{\hat{U}}{\sqrt{R^2 + (\omega L - \frac{1}{\omega C})^2}} e^{j(\omega t - \varphi_i)} =$$

$$= \frac{\hat{U}}{\sqrt{R^2 + (\omega L - \frac{1}{\omega C})^2}} [\cos(\omega t - \varphi_i) + j \sin(\omega t - \varphi_i)]$$

والتيار اللحظي المار في الدارة يكون :

$$i = \text{Im}[i] = \frac{\hat{U}}{\sqrt{R^2 + (\omega L - \frac{1}{\omega C})^2}} \sin(\omega t - \varphi_i)$$

وهي القيمة اللحظية للتيار المحسوب بالطريقة السابقة نفسها بعد تبديل (φ_i) بقيمتها .

٧-١ الممانعة العقدية والسماحية العقدية للدارة الكهربائية :

إن حل المعادلات التفاضلية التي تعبر عن وسائط الدارة الكهربائية في المستوى العقدي يعد تسهلاً كبيراً للعمل الحسابي كما رأينا في الأمثلة السابقة . وسنقوم هنا بتعريف الممانعة العقدية للدارة الكهربائية ، التي تسمح بنقل هذه الدارة مباشرة إلى المستوى العقدي دون الحاجة لكتابة المعادلة التفاضلية للتتابع الحقيقية ومن تحويلها إلى المستوى العقدي ، مما سيقدم إمكانية حل الدارات الكهربائية بوقت أقصر وسهولة أكبر .

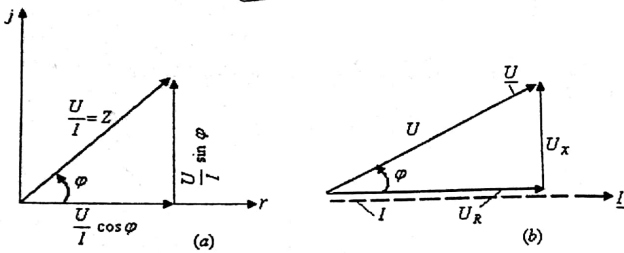
فإذا طبقنا جهد جيبى قيمته اللحظية $u(t) = \hat{U} \sin(\omega t + \varphi_u)$ على مدخل دارة كهربائية خطية (ثنائي أقطاب غير فعال) ، كما في الشكل (1-30-1) فسيمر تيار جيبى قيمته اللحظية تساوي $i(t) = \hat{I} \sin(\omega t + \varphi_i)$ ، فإن نسبة الجهد العقدي على مدخل الدارة الكهربائية إلى التيار العقدي في هذه الدارة تسمى بالممانعة الكهربائية وتأخذ الشكل الآتي :

$$\underline{Z} = \frac{U}{I} = \frac{\hat{U}}{\hat{I}} = \frac{\hat{U} e^{j\varphi_u}}{\hat{I} e^{j\varphi_i}} = \frac{U}{I} e^{j(\varphi_u - \varphi_i)} = Z e^{j\varphi} \quad (1.59)$$

وهي الشكل الأسى للممانعة العقدية التي يمثلها شعاع ساكن طوله (Z) وزاويته (φ) . ويمكن كتابة الممانعة العقدية بالشكلين القطبي والديكارتي كما يلي :

$$\underline{Z} = Z e^{j\varphi} = Z \cos \varphi + j Z \sin \varphi = R + j X = \sqrt{R^2 + X^2} e^{j\varphi} \quad (1.60)$$

ويوضح الشكل (٣٦-١) التمثيل البياني للممانعة العقدية (Z) حسب العلاقة (1.61)، والتمثيل البياني للجهد العقدي الفعال الذي يساوي مجموع الجهودين (U_R، U_X)، حيث يمكن التعبير عنه بالعلاقة: $\underline{U} = U_R + jU_X$



الشكل (٣٦-١)

يسمى مقلوب الممانعة العقدية (Z) بالمساحية العقدية ويرمز لها بالرمز (Y):

$$\underline{Y} = \frac{1}{\underline{Z}} = \frac{\underline{I}}{\underline{U}} = \frac{\hat{I} e^{j\phi_i}}{\hat{U} e^{j\phi_u}} = \frac{I}{U} e^{j(\phi_i - \phi_u)} = Y e^{-j\phi}$$

$$= Y \cos \phi - j Y \sin \phi = G - j B = \sqrt{G^2 + B^2} e^{-j\phi} \quad (1.62)$$

حيث:

Y ≡ |Y| : القيمة المطلقة للمساحية العقدية (المساحية الظاهرية).

G : المركبة الحقيقية للمساحية (المساحية الحقيقية أو الناقلية).

B : المركبة التخيلية للمساحية (المساحية التخيلية أو النفاذية).

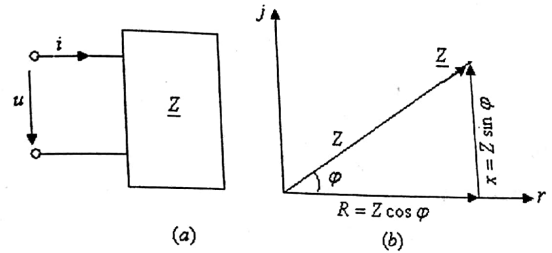
φ : زاوية فرق الطور بين الجهد والتيار.

ويوضح الشكل (٣٧-١) التمثيل البياني للممانعة العقدية، وبما أنه أيضاً يمكننا

التعبير عن المعادلة (1.62) كما يلي:

$$\underline{Y} = \frac{I}{U} e^{-j\phi} = \frac{I}{U} \cos \phi - j \frac{I}{U} \sin \phi = G - j B \quad (1.63)$$

حيث: $Z \equiv |Z|$: القيمة المطلقة للممانعة العقدية (الممانعة الظاهرية).
R : المركبة الحقيقية للممانعة (المقاومة الأومية).
X : المركبة التخيلية للممانعة (المقاومة التخيلية وهي سعوية أو تحريضية).
φ : زاوية فرق الطور بين الجهد والتيار.
ويوضح الشكل (٣٥-١) التمثيل البياني للممانعة العقدية أو ما يسمى بممانعة الممانعة العقدية.



الشكل (٣٥-١)

ومن الممكن كتابة العلاقة (1.59) على الشكل الآتي:

$$\underline{Z} = \frac{U}{I} e^{j\phi} = \frac{U}{I} \cos \phi + j \frac{U}{I} \sin \phi = R + j X \quad (1.61)$$

وبالمقارنة نلاحظ أن:

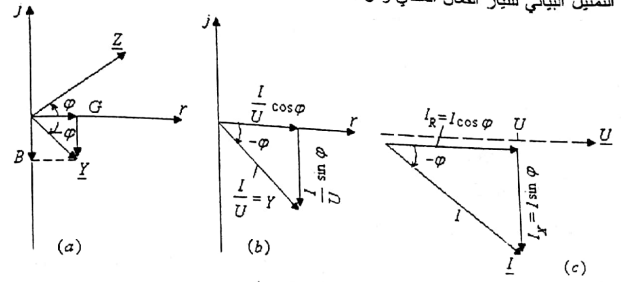
$$R = \frac{U \cos \phi}{I} = \frac{U_R}{I} \quad \text{الجزء الحقيقي من } \underline{Z} \text{ (المقاومة الأومية).}$$

$$U \cos \phi = U_R \quad \text{الجزء الحقيقي للجهد العقدي الفعال } \underline{U} \text{ (الجهد الحقيقي).}$$

$$X = \frac{U \sin \phi}{I} = \frac{U_X}{I} \quad \text{الجزء التخيلي من } \underline{Z} \text{ (المقاومة التخيلية).}$$

$$U \sin \phi = U_X \quad \text{الجزء التخيلي للجهد العقدي } \underline{U} \text{ (الجهد التخيلي).}$$

فإن الشكل (٣٧-١) يوضح التمثيل البياني للمسيرة العقدية حسب هذه المعادلة ، أم التمثيل البياني للتيار الفعال العقدي ومركباته فيوضحه الشكل (٣٧-١) (c).



الشكل (٣٧-١)

ونلاحظ من الشكل (٣٧-١) أن التيار العقدي الفعال المار في السماحية العقدية

للدارة يساوي :

$$\underline{I} = I_R + jI_X$$

$$I_X = I \sin \phi$$

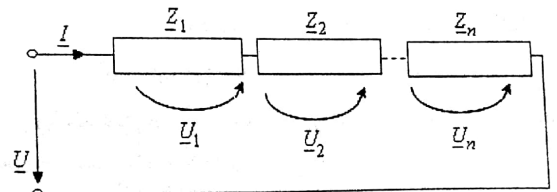
$$I_R = I \cos \phi$$

٨-١ الوصل التسلسلي والتفرعي للممانعات العقدية :

أ- لو كانت الدارة الكهربائية مؤلفة من (n) ممانعة عقدية موصولة على التسلسل كما

في الشكل (٣٨-١) ، بحيث إن :

$$\underline{Z}_1 = R_1 + jX_1 , \underline{Z}_2 = R_2 + jX_2 , \dots , \underline{Z}_n = R_n + jX_n$$



الشكل (٣٨-١)

وتحت تأثير الجهد الجيبي (U) المطبق على هذه الدارة سيمر تيار جيبي قيمته الفعالة العقدية (I) . واعتماداً على قانون كيرشوف الثاني بصيغته العقدية يمكن أن نكتب لهذه الدارة :

$$\underline{U} = \underline{U}_1 + \underline{U}_2 + \dots + \underline{U}_n = \underline{Z}_1 I + \underline{Z}_2 I + \dots + \underline{Z}_n I$$

$$= (\underline{Z}_1 + \underline{Z}_2 + \dots + \underline{Z}_n) I = \underline{Z}_{eq} I$$

إذا الممانعة العقدية المكافئة للدارة التسلسلية تساوي :

$$\underline{Z}_{eq} = \sum_{k=1}^n \underline{Z}_k = R_{eq} + jX_{eq} = Z_{eq} e^{j\phi_{eq}} \quad (1.64)$$

بحيث :

$$R_{eq} = \sum_{k=1}^n R_k , X_{eq} = \sum_{k=1}^n X_k , Z_{eq} = \sqrt{R_{eq}^2 + X_{eq}^2}$$

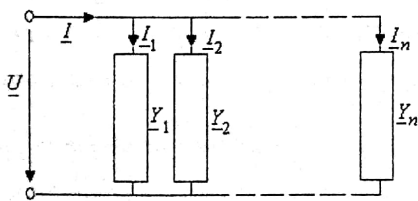
$$\phi_{eq} = \arctan \frac{X_{eq}}{R_{eq}}$$

ونشير هنا إلى أن تساوي المجموع الحسابي للمقاومات الحقيقية في هذه الدارة بينما (Xeq) تساوي المجموع الجبري للمقاومات التخيلية فيها ، وذلك لأن المقاومات التخيلية لبعض عناصر الدارة يمكن أن تكون موجبة (ممانعة ذات صفة تحريضية) ، أو سالبة (في حالة الصفة السعوية لممانعة العنصر) .

ب- بالنسبة للدارة المؤلفة من (n) سماحية عقدية موصولة على التفرع كما في الشكل

(٣٩-١) ، بحيث :

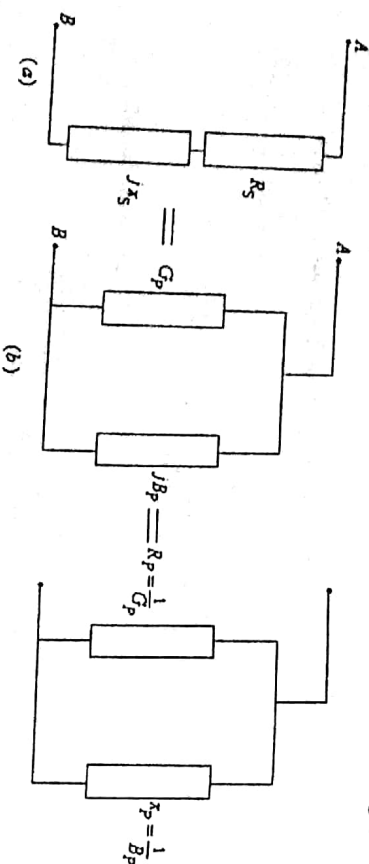
$$\underline{Y}_1 = G_1 - jB_1 , \underline{Y}_2 = G_2 - jB_2 , \dots , \underline{Y}_n = G_n - jB_n$$



الشكل (٣٩-١)

٩-١ - تحويل دارة تسلسلية إلى دارة تفرعية مكافئة على الشاخنين :

يمكن تمثيل الدارة المكافئة لتلك الخطية بدارتين تسلسليتين أو بدارة تفرعية موزونة من جزء حقيقي وجزء تخيلي . وتحويل الدارة التسلسلية إلى دارة تفرعية مكافئة على شاخنتيها تقوم بمساراة معادلة المعنفة للدارة التسلسلية المطبقة في الشكل (٩-١-١) مع معادلة المساحة المعنفة للدارة التفرعية المكافئة على الشاخنين كما في الشكل (٩-١-٢) ، والمطلوب حسابها .



الشكل (٩-١-٢)

ولتوضيح عملية التحويل نعطى الرمز (S) لتليل العناصر في الدارة التسلسلية ،

$$Y_P = \frac{1}{Z_S} = \frac{1}{R_S + jX_S} = G_P - jB_P$$

والرمز (P) لتليل العناصر في الدارة التفرعية :

تضرب بسط ومقام الطرف الأيسر من المعادلة بالقيمة المعنفة لمراق المقام :

$$\begin{aligned} \frac{R_S - jX_S}{(R_S + jX_S)(R_S - jX_S)} &= \frac{R_S - jX_S}{R_S^2 + X_S^2} = \\ &= \frac{R_S}{R_S^2 + X_S^2} - j \frac{X_S}{R_S^2 + X_S^2} = G_P - jB_P \end{aligned}$$

ومنه يكون :

بحسب كيرشوف الثاني بصيغته المعنفة نكتب :

$$I = I_1 + I_2 + \dots + I_n = Y_1 U + Y_2 U + \dots + Y_n U$$

$$I = (Y_1 + Y_2 + \dots + Y_n) U = Y_{eq} U$$

وتكون المساحة المعنفة المكافئة لهذه الدارة مساوية :

$$Y_{eq} = \sum_{k=1}^n Y_k = G_{eq} - jB_{eq} = Y_{eq} e^{j\phi_{eq}} \quad (1.65)$$

بحيث :

$$\begin{aligned} G_{eq} &= \sum_{k=1}^n G_k , \quad B_{eq} = \sum_{k=1}^n B_k , \quad Y_{eq} = \sqrt{G_{eq}^2 + B_{eq}^2} \\ \phi_{eq} &= \arctan \frac{B_{eq}}{G_{eq}} \end{aligned}$$

أيضاً نشير إلى أن تساوي المجموع المساهمات الحقيقية للدارة بينما

(B_{eq}) تساوي المجموع الجبري للمساحات التخيلية .

وفي الحالة الخاصة بتوصيل متعيقين (Z₁ ، Z₂) على التفرع فإن المعنفة

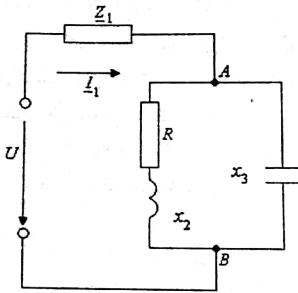
المعنفة الكلية المكافئة مساوية :

$$Z_{eq} = \frac{Z_1 \cdot Z_2}{Z_1 + Z_2} \quad (1.66)$$

وهكذا يمكننا القول إن كل علاقات وقوانين دارات التيار الجيني في صيغتها المعنفة

تلكي، علاقات وقوانين دارات التيار المستمر، وما يطبق على المقاربات الأومية في التيار المستمر يطبق على المعنفات المعنفة في التيار الجيني المعنفي . وهذه النتيجة تمكننا من نقل الدارة الكهربية مباشرة إلى المستوى المعنفي ، وبكفي لهذا الغرض وضع قيمة المعنفة المعنفة لعنصر الدارة الكهربية بجانبه ، أي وضع (jωL) بدلاً من (L) ، و (1/jωC)

بدلاً من (C) مع الإشارة إلى أن (R) تبقى نفسها .



الشكل (1-11)

والمطلوب :

تحديد قيمة وصفة الممانعة Z_1 إذا كان معلوماً أنها ممانعة ردية فقط ويمر عبرها تيار قيمته الفعالة ($I_1 = 12 A$) والقيمة الفعالة للجهد المطبق على مأخذي الدارة ($U = 30 V$).

الحل :

إن الممانعة بين النقطتين A , B تساوي :

$$Z_{AB} = \frac{(R + jX_2)(jX_3)}{R + j(X_2 + X_3)} = \frac{(40 + j100)(-j20)}{40 + j80} = (2 - j24) \Omega$$

إن الممانعة الظاهرية للدارة :

$$Z = \frac{U}{I} = \frac{30}{12} = 2,5 \Omega$$

ويمكن التعبير عنها كما يلي :

$$Z = \sqrt{2^2 + (X_1 - 24)^2} = 2,5$$

ومنه :

$$2^2 + (X_1 - 24)^2 = 6,25$$

$$(X_1 - 24)^2 = 6,25 - 4 = 2,25$$

$$X_1 - 24 = \pm 1,5$$

- وكما نلاحظ أنه يوجد حلان للمعادلة :

إن صفة الممانعة Z_1 هي ردية تحريضية وقيمتها تساوي :

إما : $X_1' = 1,5 + 24 = 25,5 \Omega \Rightarrow Z_1 = jX_1' = j25,5 \Omega$

أو : $X_1'' = -1,5 + 24 = 22,5 \Omega \Rightarrow Z_1 = jX_1'' = j22,5 \Omega$

$$\left. \begin{aligned} G_P &= \frac{R_S}{R_S^2 + X_S^2} = \frac{R_S}{Z_S^2} \Rightarrow R_S R_P = Z_S^2 \\ B_P &= \frac{X_S}{R_S^2 + X_S^2} = \frac{X_S}{Z_S^2} \Rightarrow X_S X_P = Z_S^2 \\ Y_P &= \sqrt{G_P^2 + B_P^2} = \frac{1}{\sqrt{R_S^2 + X_S^2}} = \frac{1}{Z_S} \end{aligned} \right\} (1.67)$$

ب - أما تحويل الدارة التفرعية المعطاة إلى دارة تسميلية مكافئة على المأخذين فيعني الانتقال من Z إلى Y :

$$Z_S = \frac{1}{Y_P} = \frac{1}{G_P - jB_P} = R_S + jX_S$$

وبالطريقة نفسها نكتب :

$$\begin{aligned} \frac{G_P + jB_P}{(G_P - jB_P)(G_P + jB_P)} &= \frac{G_P + jB_P}{G_P^2 + B_P^2} = \\ &= \frac{G_P}{G_P^2 + B_P^2} + j \frac{B_P}{G_P^2 + B_P^2} = R_S + jX_S \end{aligned}$$

ومنه يكون :

$$\left. \begin{aligned} R_S &= \frac{G_P}{G_P^2 + B_P^2} = \frac{G_P}{Y_P^2} \Rightarrow G_P G_S = Y_P^2 \\ X_S &= \frac{B_P}{G_P^2 + B_P^2} = \frac{B_P}{Y_P^2} \Rightarrow B_P B_S = Y_P^2 \\ Z_S &= \sqrt{R_S^2 + X_S^2} = \frac{1}{\sqrt{G_P^2 + B_P^2}} = \frac{1}{Y_P} \end{aligned} \right\} (1.68)$$

مثال (1-10) :

إذا كانت وسائط الدارة المبينة في الشكل (1-11) هي :

$$jX_3 = -j20 \Omega , \quad jX_2 = j100 \Omega , \quad R = 40 \Omega$$

إن التيار المار في الممانعة Z_1 حسب مقسم التيار العقدي هو :

$$I_1 = I \frac{Z_2}{Z_1 + Z_2} = \frac{U}{Z + Z_1 + \frac{Z Z_1}{Z_2}}$$

وحتى يتأخر التيار I_1 بالطور عن الجهد U بزواوية قدرها (90°) يجب أن يكون المقام (المخرج) في معادلة I_1 ذو قيمة تخيلية فقط بإشارة موجبة ، أي :

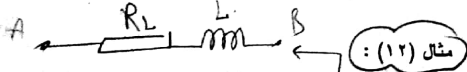
$$Z + Z_1 + \frac{Z Z_1}{Z_2} = R + R_1 + j(X + X_1) + \frac{(R + jX)(R_1 + jX_1)}{R_2} = (R + R_1 + \frac{R R_1 - X X_1}{R_2}) + j(X + X_1 + \frac{R X_1 + R_1 X}{R_2})$$

نساوي القسم الحقيقي من هذه المعادلة إلى الصفر :

$$R + R_1 + \frac{R R_1 - X X_1}{R_2} = 0$$

$$R_2 = \frac{X X_1 - R R_1}{R + R_1} = \frac{25 \cdot 11 - 5 \cdot 10}{5 + 10} = 15 \Omega$$

٢- يرسم المخطط الشعاعي للدارة كما في الشكل (٢-١) (b).



ملف عملي مقاوم ضياعه $(R_L = 10 \Omega)$ ، وتحريضه $(L = 0,05 H)$. تم توصيله إلى منبع جهد جيبي قيمته الفعالة $(U = 120 V)$ ، والتردد $(f = 50 Hz)$. والمعد ب :

١- تحديد الممانعة الظاهرية للمنف والتيار المار فيه وزواوية الطور بين الجهد والتيار.

٢- حساب المركبة الحقيقية والمركبة التخيلية للجهد على مأخذي الملف ، وكم تساوي قيمة القوة المحركة الكهربائية الذاتية المولدة في الملف .

٣- رسم المخطط الشعاعي للجهد والتيار.

الحصل :

١- بموجب العلاقة (1.44) فإن الممانعة العقدية للملف العملي بأبسط أشكاله تساوي :

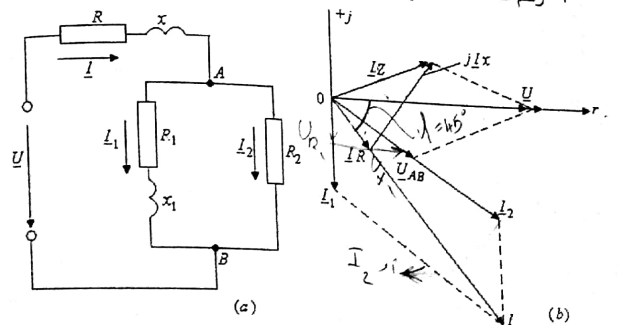
مثال (١١) : للدارة المبينة في الشكل (٢-١) (a) يطلب :

١- تحديد قيمة المقاومة (R_2) ، الموصولة على التفرع مع الممانعة $Z_1 = R_1 + j X_1$ حتى يصبح التيار I_1 المار في الممانعة (Z_1) متأخراً بزواوية قدرها (90°) عن الجهد (U)

المطبق على مأخذي هذه الدارة ، مع العلم أن :

$$R = 5 \Omega , X = 11 \Omega , R_1 = 10 \Omega , X_1 = 25 \Omega$$

٢- رسم المخطط الشعاعي .



الشكل (٢-١)

الحصل :

١- نرسم لممانعات الدارة كما يلي :

$$Z = R + j X , Z_1 = R_1 + j X_1 , Z_2 = R_2$$

وعندها تكون الممانعة الكلية المكافئة للدارة مساوية :

$$Z_{eq} = Z + \frac{Z_1 \cdot Z_2}{Z_1 + Z_2}$$

ويكون التيار الكلي المار في الدارة مساوياً :

$$I = \frac{U}{Z_{eq}} = \frac{U(Z_1 + Z_2)}{Z Z_1 + Z_1 Z_2 + Z Z_2}$$

دوائر كهربية خطية في التيار المتردد الجيبى

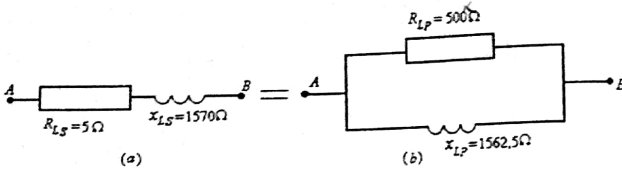
$$d_L = \frac{1}{Q} = \frac{1}{300} = 0,0033$$

ومنه :

$$R_L = \omega L \cdot d_L = 2\pi \cdot 500 \cdot 10^3 \cdot 0,5 \cdot 10^{-3} \cdot 0,0033$$

$$R_L = 5,16 \Omega$$

وتكون الدارة التسلسلية المكافئة ، كما في الشكل (٤٤-١) .



الشكل (٤٤-١)

إن معرفة قيمة (R_L) للملف العملي في دارته التفرعية المكافئة يتم بتحويل الدارة التسلسلية إلى دارة تفرعية مكافئة والذي يتم حسب العلاقات (1.67) .

ولمطابقة الرموز نعطي الرمز (R_{LS}) والرمز (X_{LS}) لعناصر الدارة التسلسلية المعروفة ونصّب قيمها المكافئة في الدارة التفرعية والمبينة في الشكل (٤٤-١) (b) .

إن :

$$X_{LS} = 2\pi f L = 2\pi \cdot 500 \cdot 10^3 \cdot 0,5 \cdot 10^{-3}$$

$$X_{LS} = 1570 \Omega$$

$$G_{LP} = \frac{R_{LS}}{R_{LS}^2 + X_{LS}^2} = \frac{5}{5^2 + 1570^2} = 2 \cdot 10^{-6} [S] \Rightarrow R_{LP} = \frac{1}{G_{LP}} = 500 k\Omega$$

$$B_{LP} = \frac{X_{LS}}{R_{LS}^2 + X_{LS}^2} = \frac{1570}{5^2 + 1570^2} = 0,00064 [S] \Rightarrow X_{LP} = \frac{1}{B_{LP}} = 1562,5 \Omega$$

$$\underline{Z}_L = R_L + j\omega L = Z_L e^{j\varphi}$$

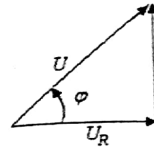
$$\omega L = 2\pi f L = 2\pi \cdot 500 \cdot 0,05 = 15,7 \Omega \quad \text{وحيث :}$$

$$Z_L = \sqrt{R_L^2 + (\omega L)^2} = \sqrt{10^2 + 15,7^2} = 18,6 A\Omega$$

$$\tan \varphi = \frac{\omega L}{R_L} = \frac{15,7}{10} = 1,57$$

$$\varphi = 57,5^\circ$$

$$I = \frac{U}{Z_L} = \frac{120}{18,6} = 6,45 A$$



الشكل (٤٣-١)

٢- المركبات الحقيقية والتخيلية للجهد :

$$U_{R_L} = U \cos \varphi = I R_L = 6,45 \cdot 10 = 64,5 V$$

$$U_L = U \sin \varphi = I X_L = 6,45 \cdot 15,7 = 101 V$$

وتكون قيمة القوة المحركة الكهربية لثابتة مساوية :

$$E_L = -U_L = -103 V$$

٣- المخطط الشعاعي للجهد والتيار مبين في الشكل (٤٣-١) .

مثال (١٣) :

تم قياس تحريض ملف عملي عند التردد $(f = 500 KHz)$ فبتبين أنه يساوي $(L = 0,5 mH)$ ، وجودته تساوي (300) . ماذا تساوي قيمته مقاومة ضياع الملف (R_L) في دارته التسلسلية بأبسط أشكالها وفي دارته التفرعية المكافئة على الأماخين ؟

الحل :

تصّب قيمة (R_L) للملف العملي في دارته التسلسلية كما يلي :

من العلاقة (1.45) نوجد عامل ضياع الملف الذي يساوي :

$$\tan \delta = d_L = \frac{R_L}{\omega L}$$

لكن عامل ضياع الملف يساوي حسب العلاقة (1.47) مقلوب جودته ، أي :

بدأ :

$$R_{C1} = \frac{U}{I_a} = \frac{19,5}{7,85 \cdot 10^{-3}} = 2,48 \cdot 10^3 \Omega = 2,48 K\Omega$$

أما المركبة التخيلية للتيار فهي :

$$I_r = I \sin \varphi = 0,3 \cdot 0,9996 \approx 0,3 A$$

ومنه نحسب قيمة (C₁) كما يلي :

$$I_r = U \omega C_1 = 0,3 A$$

$$C_1 = \frac{0,3}{19,5 \cdot 2 \cdot 3,14 \cdot 50 \cdot 10^3} = 49 \cdot 10^{-9} F = 49 nF$$

أما لدارة المكثف التسلسلية المكافئة ، فلدينا : Δ حساب قوانين التحويل

$$R_{C2} = \frac{P}{I^2} = \frac{0,153}{0,3^2} = 1,7 \Omega = \frac{G_1}{G_1^2 + B_1^2}$$

$$Z = \frac{U}{I} = \frac{19,5}{0,3} = 65 \Omega$$

$$|X_{C2}| = \sqrt{Z^2 - R_{C2}^2} = \sqrt{65^2 - 1,7^2} = 65 \Omega = \frac{B_1}{G_1^2 + B_1^2}$$

ومنه نحسب قيمة (C₂) :

$$X_{C2} = \frac{1}{\omega C_2} = 65 \Omega \Rightarrow C_2 = \frac{1}{65 \cdot 2 \cdot 3,14 \cdot 50 \cdot 10^3} = 49 nF$$

ب- إن زاوية ضياع المكثف في الحالتين لا تتغير وتساوي :

$$\delta_C = 90 - |\varphi| = 90^\circ - 88,5^\circ = 1,5^\circ$$

وبالتالي عامل ضياعه :

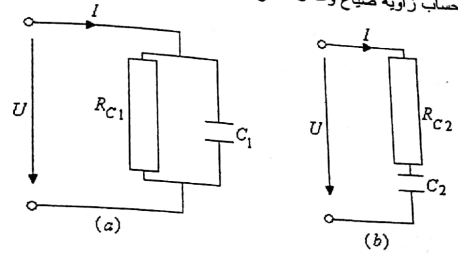
$$d_C = \tan \delta_C = \tan 1,5^\circ = 0,0262$$

إن جودة المكثف هي مقلوب عامل ضياعه :

$$Q_C = \frac{1}{d_C} = \frac{1}{0,0262} = 38,17$$

مثال (١٤) :

لتحديد مساهمات مكثف ذو ضياعات (مكثف عملي) تم وصله إلى منبع جهد متردد جيبى (U = 19,5 V) ، (f = 50 kHz) ، وعندها أشار مقياس الأمبير الموصول في الدارة إلى القيمة (I = 0,3 A) ، ومقياس الواط إلى الاستطاعة (P = 0,153 W) ، والمطلوب :
 أ- تحديد قيمة كل من (R_{C1} ، C₁) و (R_{C2} ، C₂) للدارتين المكافئتين للمكثف والمبينين في الشكل (١-٤٥) .
 ب- حساب زاوية ضياع وعامل ضياع المكثف وجودته .



الشكل (١-٤٥)

الحل :

أ- نحدد زاوية فرق الطور (φ) بين الجهد والتيار في الدارة :

$$\cos \varphi = \frac{P}{UI} = \frac{0,153}{19,5 \cdot 0,3} = 0,262 \Rightarrow \varphi = -88,5^\circ$$

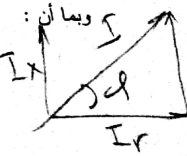
إن إشارة زاوية (φ) سالبة لأن الدارة ذات صفة سعوية .

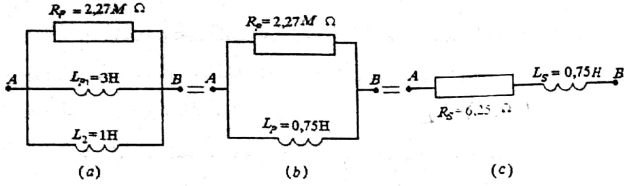
دارة المكثف التفرعية لدينا : P = UI cos φ = UI_a ، ومنه سنوجد المركبة

الحقيقية للتيار :

$$I_a = \frac{P}{U} = \frac{0,153}{19,5} = 7,85 mA = I \cos \varphi$$

$$I_a = U G_{C1} = \frac{U}{R_{C1}} = 7,85 \cdot 10^{-3} A$$





الشكل (٤٧-١)

الآن سنقوم بتحويل الدارة الفرعية إلى دارة تسلسلية حسب قوانين التحويل في العلاقات (1.68) فنكون قيم (X_S, R_S) كما يلي :

$$R_S = \frac{G_P}{G_P^2 + B_P^2} = 6,25 \Omega$$

$$X_S = \frac{B_P}{G_P^2 + B_P^2} = 3750 \Omega \Rightarrow L_S = \frac{3750}{2\pi \cdot 800} = 0,75 H$$

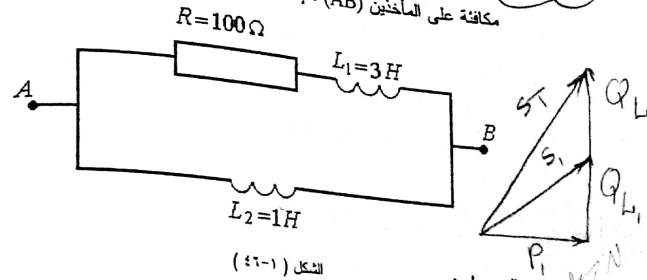
والشكل (٤٧-١) يبين الدارة التسلسلية المكافئة المطلوبة .

١٠-١ ثنائيات الأقطاب المكافئة وثنائيات الأقطاب العكسية :

الجدول (٤-١)

دارات بعض الثنائيات المكافئة	شروط التكافؤ	رقم العلاقة
	$\left. \begin{aligned} b &= a(1+a) \\ c &= (1+a)^2 \\ d &= 1+a \end{aligned} \right\} (1.69)$	
	$\left. \begin{aligned} b &= a^2/(1+a) \\ c &= (a/(1+a))^2 \\ d &= a/(1+a) \end{aligned} \right\} (1.70)$	

مثال (١٤) : المطلوب : تحويل الدارة المختططة المبينة في الشكل (٤٦-١) إلى دارة تسلسلية مكافئة على المأخذين (AB) ، إذا كان التردد مساوياً $f = 800 \text{ Hz}$.



الشكل (٤٦-١)

الحل :
في الخطوة الأولى نحول الفرع العلوي من الدارة المؤلف من ملف ومقاومة على التسلسل إلى دارة تفرعية :

$$X_{S1} = X_{L1} = \omega L_1 = 2\pi f L_1 = 15072 \Omega$$

ومنه وحسب قوانين التحويل في العلاقات (1.67) يكون :

$$G_P = \frac{R_S}{R_S^2 + X_S^2} =$$

$$= \frac{100}{100^2 + 15072^2} = 44.10^{-8} [S] \Rightarrow R_P = \frac{1}{G_P} = 2,27 [M\Omega]$$

$$B_P = \frac{X_{S1}}{R_S^2 + X_{S1}^2} =$$

$$= \frac{15072}{100^2 + 15072^2} = 66,3.10^{-6} [S] \Rightarrow X_{P1} = 15072,6 [\Omega]$$

$$X_{P1} = 2\pi f L_{P1} \Rightarrow L_{P1} = \frac{X_{P1}}{2\pi f} = 3[H]$$

أصبحت لدينا دارة تفرعية كما في الشكل (٤٧-١) سنحولها إلى الدارة الفرعية كما

في الشكل (٤٧-١) ، حيث لدينا التحريض التفرعي الكلي يساوي :

$$L_P = \frac{L_{P1} \cdot L_2}{L_{P1} + L_2} = \frac{3 \cdot 1}{3 + 1} = \frac{3}{4} = 0,75 [H]$$

وحسب شروط التكافؤ في العلاقات (1.69) يمكن إيجاد العوامل (b, c, d) :

$$b = a(1+a) = 4.5 = 20$$

$$c = (1+a)^2 = 5^2 = 25$$

$$d = 1+a = 1+4 = 5$$

وبذلك تكون عناصر الدارة للمخطط المكافئ مساوية :

$$bZ_1 = bj\omega L_1 = j\omega \cdot 10 \cdot 10^{-3} \cdot 20 = j\omega 200 \cdot 10^{-3} \Omega$$

$$L_2 = 200 \text{ mH}$$

$$cZ_2 = c \frac{1}{j\omega C_1} = \frac{1}{j\omega} \cdot \frac{25}{50 \cdot 10^{-6}} = \frac{1}{j\omega 2 \cdot 10^{-6}} \Omega$$

$$C_2 = 2 \mu F$$

$$dZ_1 = dj\omega L_1 = j\omega 10 \cdot 10^{-3} \cdot 5 = j\omega 50 \cdot 10^{-3} \Omega$$

$$L_3 = 50 \text{ mH}$$

ويوضح الشكل (٤٨-١) المخطط المكافئ للدارة ، حيث تم وضع قيم العناصر على

هذا المخطط .

مثال (١٧) :

المطلوب : وضع مخطط ثنائي الأقطاب المعاكس لمخطط الدارة المعطاة في الشكل

(٤٩-١) ، وذلك عندما $(R^2 = 100)$. ثم حدد قيم عناصره إذا كانت :

$$L_1 = 2 \text{ mH} , L_2 = 5 \text{ mH} , C_3 = 100 \mu F , L_4 = 5 \text{ mH} ,$$

$$R_5 = 10 \Omega , C_6 = 25 \mu F , R_7 = 20 \Omega$$

الحل :

سنحسب حسب العلاقة (1.71) الممانعة العقدية (Z'_1) المعاكسة للممانعة العقدية

$$Z'_1 = j\omega L_1$$

$$Z'_1 = \frac{R^2}{Z_1} = \frac{R^2}{j\omega L_1} = \frac{1}{j\omega \left(\frac{L_1}{R^2}\right)} = \frac{1}{j\omega C'_1}$$

$$C'_1 = \frac{L_1}{R^2} = \frac{2 \cdot 10^{-3}}{100} = 20 \cdot 10^{-6} F = 20 \mu F \text{ حيث إن :}$$

١- ثقبويات الأقطاب المكافئة : هي ثقبويات أقطاب ذات بنية مختلفة عن ثقبويات الأقطاب الأصلية ولكنها تملك الصفات الترددية نفسها . ويبين الجدول (٤-١) بعض دارات هذه الثقبويات وشروط تكافؤها .

ب- ثقبويات الأقطاب العكسية : هي ثقبويات أقطاب ذات ممانعات عقدية (Z', Z) يساوي جدالها عدداً حقيقياً موجباً (R^2) لا يتعلق بالتردد .

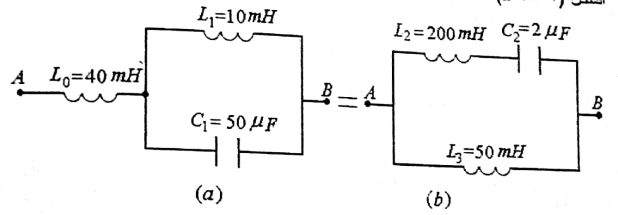
$$Z \cdot Z' = R^2 \quad (1.71)$$

وتسمى الممانعة العقدية $Z' = \frac{R^2}{Z}$ بالممانعة العقدية العكسية للممانعة Z بنسبة (R^2) .

مثال (١٧)

يطبق وضع الدارة وحساب العناصر لثنائي الأقطاب المكافئ لثنائي الأقطاب المبين في

الشكل (٤٨-١) .



الشكل (٤٨-١)

الحل :

إن مخطط دارة ثنائي الأقطاب المعطى يطابق المخطط الموجود في الجدول (٤-١) حيث :

$$Z_1 = j\omega L_1 , Z_2 = \frac{1}{j\omega C} , aZ_1 = j\omega L_0$$

عندئذ فإن العامل (a) الضروري لتحديد قيم عناصر مخطط الدارة المكافئة يحسب

كما يلي :

$$a = \frac{aZ_1}{Z_1} = \frac{j\omega L_0}{j\omega L_1} = \frac{L_0}{L_1} = \frac{40}{10} = 4$$

إن السعة (C_1) المحددة لهذا العنصر تعد معكوس العنصر التحريضي (L) .

وبالطريقة نفسها نستطيع إيجاد قيم العناصر العكسية للملف التحريضي (L_2) ، وللمكثف السعوي (C_3) ، وللملف التحريضي (L_4) ، وللمقاومة الأومية (R_5) ، وللمكثف (C_6) ، وللمقاومة (R_7) ، وهي على التوالي .

$$C_2' = \frac{L_2}{R^2} = \frac{5 \cdot 10^{-3}}{100} = 5 \cdot 10^{-5} F = 50 \mu F$$

- مكثف سعته :

$$L_3' = C_3 R^2 = 100 \cdot 10^{-6} \cdot 100 = 10^{-2} H = 10 \text{ mH}$$

- ملف تحريضه :

$$C_4' = \frac{L_4}{R^2} = \frac{5 \cdot 10^{-3}}{100} = 5 \cdot 10^{-5} F = 50 \mu F$$

- مكثف سعته :

$$R_5' = \frac{R^2}{R_5} = \frac{100}{10} = 10 \Omega$$

- مقاومة أومية :

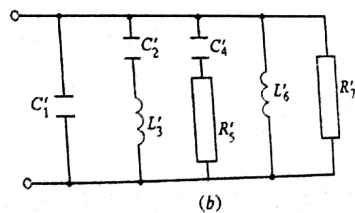
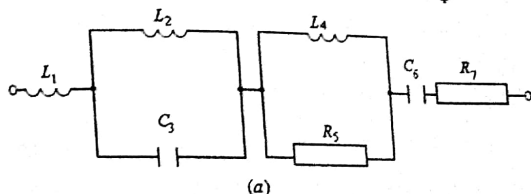
$$L_6' = C_6 R^2 = 25 \cdot 10^{-6} \cdot 100 = 25 \cdot 10^{-4} H = 2,5 \text{ mH}$$

- ملف تحريضه :

$$R_7' = \frac{R^2}{R_7} = \frac{100}{20} = 5 \Omega$$

- مقاومة أومية :

إن الوصل التسلسلي للعناصر في مخطط الدارة المعطاة يكافئ الوصل التفرعي للعناصر العكسية في المخطط العكسي لهذه الدارة ، وبين الشكل (٤٩-١) المخطط المطلوب .



الشكل (٤٩-١)

١١-١ مسائل غير محلولة

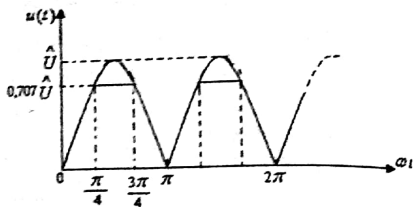
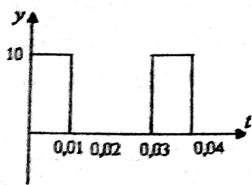
مسألة (١) :

أوجد القيمة الفعالة والقيمة المنوسطة للتابع المتناوب المبين في الشكل (٥٠-١) .

مسألة (٢) :

أوجد القيمة الفعالة والقيمة المنوسطة للجهد المبين في الشكل (٥١-١) . والمعوم تقريباً

كاملاً إذا قطع منه الجزء العلوي عند القيمة $(\frac{\hat{U}}{\sqrt{2}})$.



مسألة (٣) :

احسب القيمة اللحظية للتيار المار بين النقطتين (A ، B) في الدارة المبينة في

الشكل (٥٢-١) ، حيث :

$$e_1(t) = 60 V \sin \omega t$$

$$e_2(t) = 40 V \sin(\omega t - \frac{\pi}{3})$$

